

Modélisation des mécanismes physiques de rupture ductile et simulation numérique des essais de laboratoire

Gilles Rousselier

PSL Research University, MINES ParisTech, Centre des Matériaux, Evry, France

Définition de la rupture ductile

Rupture par amorçage-croissance-coalescence de **cavités**
?

Définition de la rupture ductile

Rupture par amorçage-croissance-coalescence de **cavités**

EMMC : ductile damage may be defined as the cause of failure processes involving a significant amount of **dissipation** which can occur at **various length scales**

Sont écartés (dans cet exposé) :

la rupture à chaud (fluage)

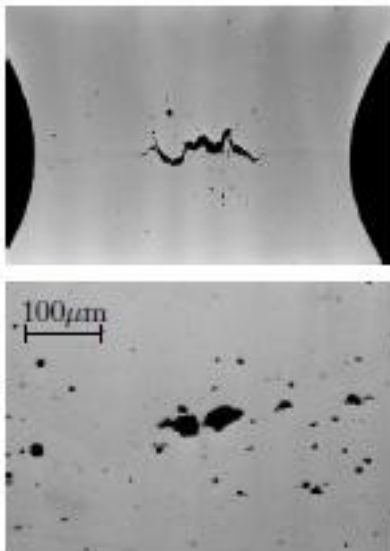
la rupture à grande vitesse (adoucissement adiabatique)

ainsi que les mécanismes d'amorçage des cavités

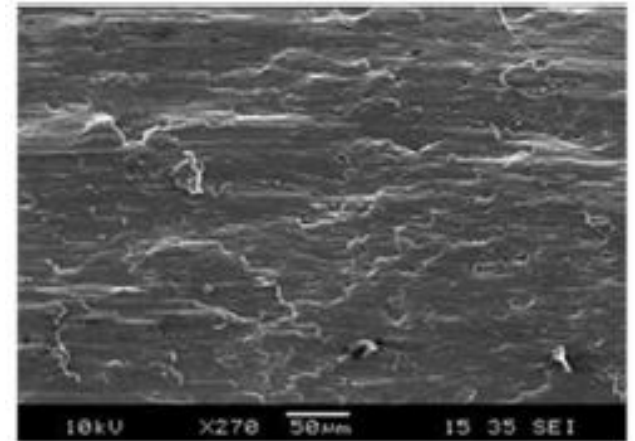
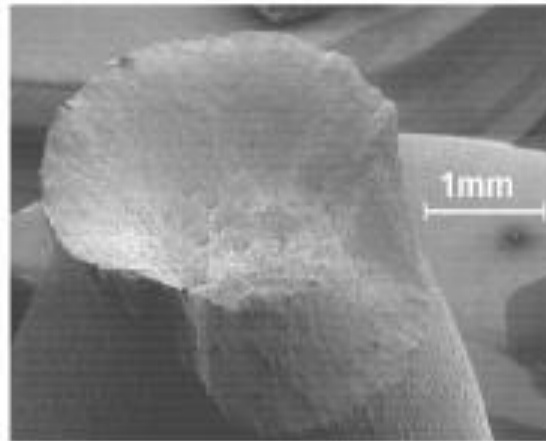
RUPTURE DUCTILE

Mécanismes de rupture impliquant une **dissipation** progressive et significative d'énergie mécanique :

- **localisation** de la déformation (striction d'une plaque mince, ...)
- amorçage, croissance et coalescence de **micro-cavités** (μm)
- **glissements critiques** (sans micro-cavités, présence ? de nano-cavités $\ll \mu\text{m}$)



Barre 100 μm



Barre 50 μm MEB

Deux parties

**Les modèles classiques de rupture ductile en discussion
(modèles macroscopiques)**

La modélisation **multi-échelles de la rupture ductile
(et de la plasticité)
en relation avec les mécanismes**

Rice & Tracey (1969): cavités sphériques (rayon R) champs axisymétriques, pas d'écroutissage (σ_Y), $D=3\alpha=3*0.283=0.85$

pour des **triaxialités "élevées"** $\eta = \sigma_m/\sigma_{eq}$ ou $\sigma_m/\sigma_Y (>1)$

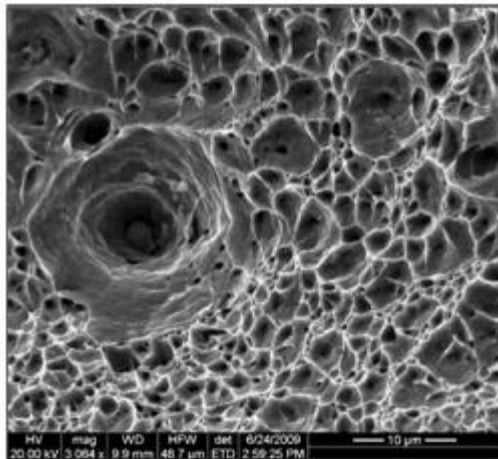
$$\dot{p} = \dot{\varepsilon} p_{eq} \quad \frac{\dot{f}}{f} = 3 \frac{\dot{R}}{R} = \dot{p} D \exp\left(\frac{3\sigma_m}{2\sigma_Y}\right) \quad \mathbf{3/2} \text{ ou inverse } \mathbf{2/3}$$

$D \approx 2$ (aciers)

B. Marini, A. Pineau, F. Mudry (1985)

F. Mudry (1982)

Mesures de
croissance
des cavités



barre
10 μ m

MEB

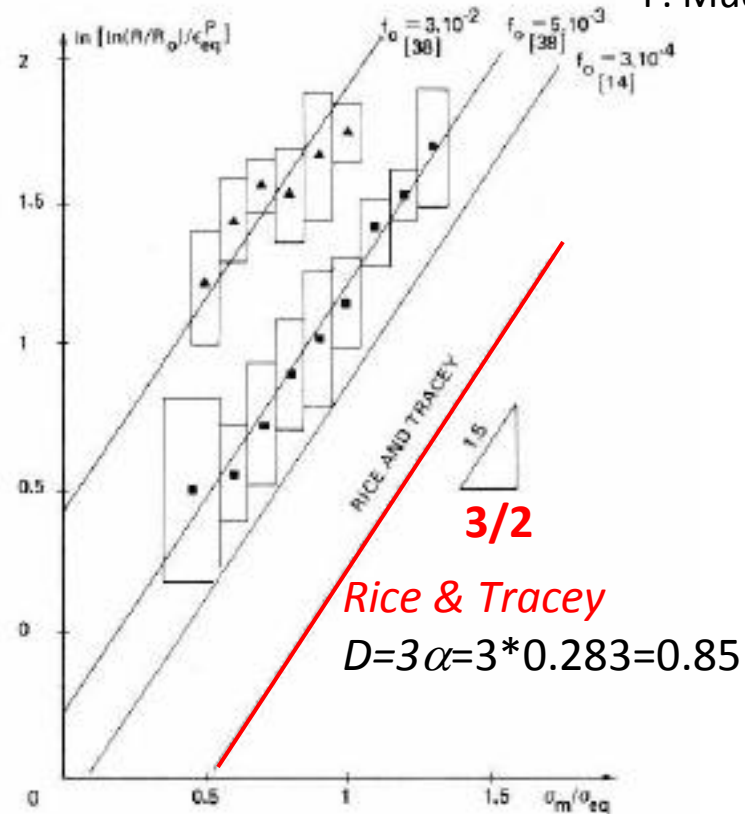


Fig. 3. Verification of the relation expressing the growth of cavities in a low alloy forged steel [14] and forged sintered steels [38].

Rice & Tracey (1969): cavités sphériques (rayon R) champs axisymétriques, pas d'écroutissage (σ_Y), $D=3\alpha=3*0.283=0.85$

pour des triaxialités "élevées" $\eta = \sigma_m/\sigma_{eq}$ ou $\sigma_m/\sigma_Y (>1)$

$$\dot{p} = \dot{\varepsilon} p_{eq} \quad \frac{\dot{f}}{f} = 3 \frac{\dot{R}}{R} = \dot{p} D \exp\left(\frac{3\sigma_m}{2\sigma_Y}\right) \quad 3/2 \text{ ou inverse } 2/3$$

Mesures de croissance de cavités $D \approx 2$

Huang (1991) $D = 1.28$

Rice & Tracey (1969): cavités sphériques (rayon R) champs axisymétriques, pas d'écroutissement (σ_Y), $D=3\alpha=3*0.283=0.85$

pour des triaxialités "élevées" $T=\eta = \sigma_m/\sigma_{eq}$ ou $\sigma_m/\sigma_Y (>1)$

$$\dot{p} = \dot{\epsilon}_{eq}^p \quad \frac{\dot{f}}{f} = 3 \frac{\dot{R}}{R} = \dot{p} D \exp\left(\frac{3\sigma_m}{2\sigma_Y}\right) \quad 3/2 \text{ ou inverse } 2/3$$

Mesures de croissance de cavités $D \approx 2$

Huang (1991) $D = 1.28$

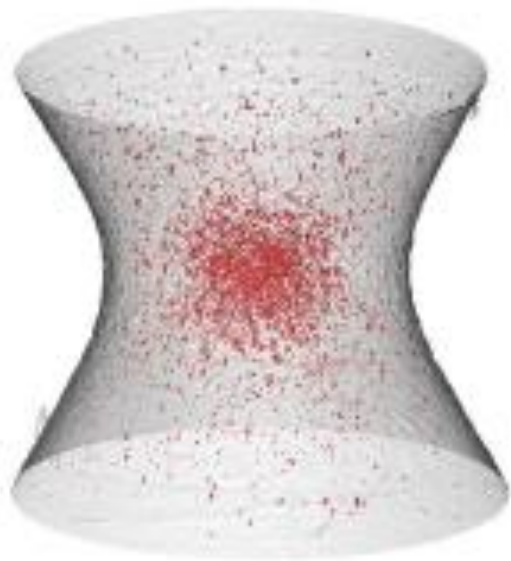
Modèle thermodynamique de plasticité poreuse (Rousselier, 1981)
dont **résulte** la dépendance exponentielle

$$\dot{f} = 3(1-f)\dot{\epsilon}_m^p = \dot{p} D_1 f \exp\left(\frac{\sigma_m}{(1-f)\sigma_1}\right)$$

Constantes d'intégration données par Rice-Tracey-Huang + mesures

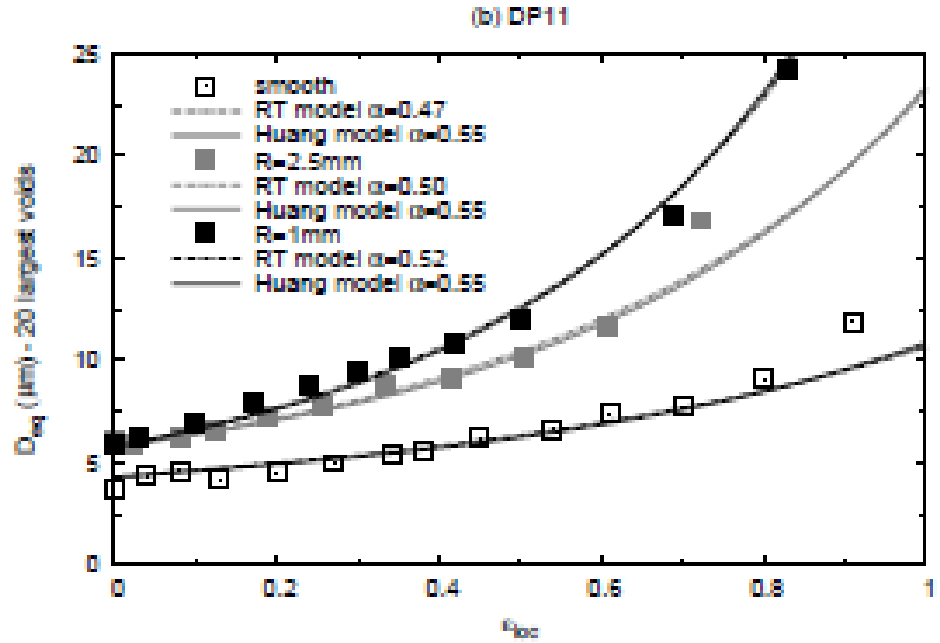
$D_1 = D \approx 2$, $\sigma_1 = (2/3)\sigma_Y$, $\sigma_1 = (2/3)\sigma_{flow}(p_1)$ (écroutissement)

TOMOGRAPHIE aux rayons X



$$D = 3\alpha \approx 3 * 0.5 \approx 1.5$$

Landron, Maire et al. (2011). Dual-phase steel



Rice & Tracey (1969)

$$\frac{dR}{R} = \alpha_{RT} \exp\left(\frac{3}{2}T\right) d\epsilon$$

Huang (1991)

$$\frac{dR}{R} = \alpha_{HUANG} T^{1/4} \exp\left(\frac{3}{2}T\right) d\epsilon$$

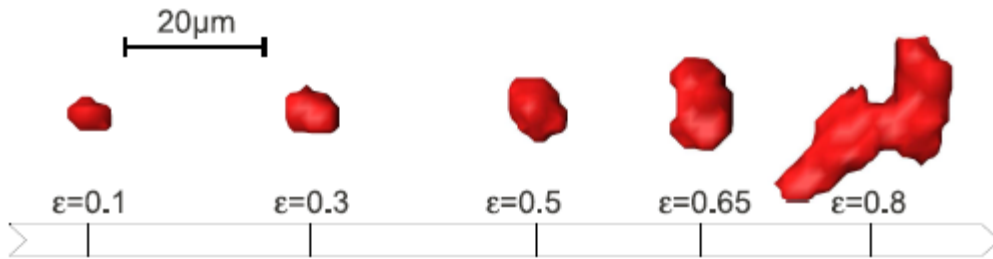


Figure 3.6: 3D visualization of the same cavity at different steps of deformation in the DP11 sample.

Critère de **rupture ductile dérivé de Rice & Tracey
(BEREMIN= Pineau, d'Escatha, Devaux, 1977, 1981, ...)**

$$\ln\left(\frac{R}{R_0}\right) = p\alpha \exp\left(\frac{3\sigma_m}{2\sigma_Y}\right) \quad \left(\frac{R}{R_0}\right)_c \text{ indépendant de la valeur de } \alpha = D/3$$

Post-traitement :

ne tient pas compte de l'effet de l'endommagement sur la plasticité

Plasticité avec porosité de *Rice (1974)-Gurson (1977) !!!*

Homogénéisation
sphère creuse
2 champs $\dot{\epsilon}$
cinématiques $\dot{\mathbf{U}}$

$$\left(\frac{\sigma_{eq}}{\sigma^*}\right)^2 - 1 - f^2 + 2f \cosh\left(\frac{3\sigma_m}{2\sigma^*}\right) = 0$$

R&T-Huang $D = 3\alpha = 1.28$

$$\dot{f} = \dot{p} D f * 2 \sinh\left(\frac{3\sigma_m}{2\sigma_Y}\right)$$

Gurson $D = 3\alpha = 3*0.25 = 0.75$

**Couplage plasticité-endommagement \Rightarrow adoucissement
 \Rightarrow **localisation de la déformation (?) et rupture****

“... the pre-localization constitutive relations cannot be continued analytically at the critical point, and they provide no basis for prediction of localization.”

Rice (1976)

Modèle micromécanique de Rice-Gurson : les 2 champs cinématiques **initiaux** ne peuvent pas être prolongés analytiquement au-delà d'une faible croissance de la cavité.

Tvergaard & Needleman (1984) : deux modifications pour obtenir une croissance suffisante des cavités et la localisation de la déformation → modèle **GTN**

1.
$$\left(\frac{\sigma_{eq}}{\sigma^*}\right)^2 - 1 - q_3 f^2 + 2q_1 f \cosh\left(\frac{3q_2 \sigma_m}{2\sigma^*}\right) = 0$$

$$\dot{f} = \dot{p} D f^* 2 \sinh\left(\frac{3q_2 \sigma_m}{2\sigma_Y}\right) \quad D = 3\alpha = 3 q_1 q_2 / 4$$

$$q_1 = 2, q_2 = q_3 = 1 \Rightarrow D = 3\alpha = 1.5$$

2. Fonction d'accélération de la croissance des cavités

$$f^* = \begin{cases} f, & \text{for } f \leq f_c \\ f_c + K(f - f_c), & \text{for } f > f_c. \end{cases}$$

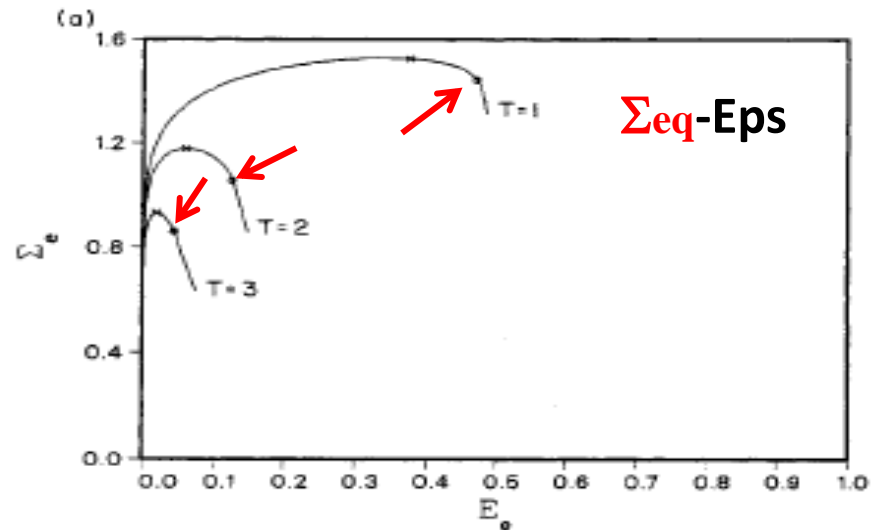
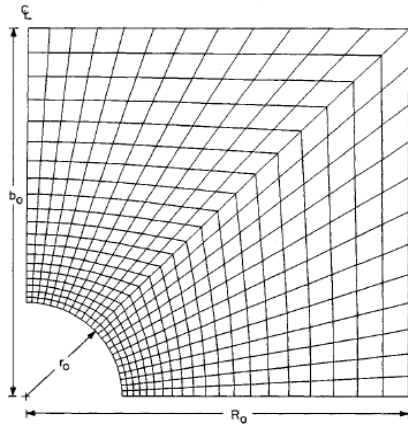
N.B. : **K** est parfois noté δ

La **localisation** de la déformation est rendue possible par la rupture de pente à $f=f_c$ (est-ce de la micromécanique ?)

Le modèle GTN est en réalité plutôt un modèle de **fraction volumique critique** de cavités

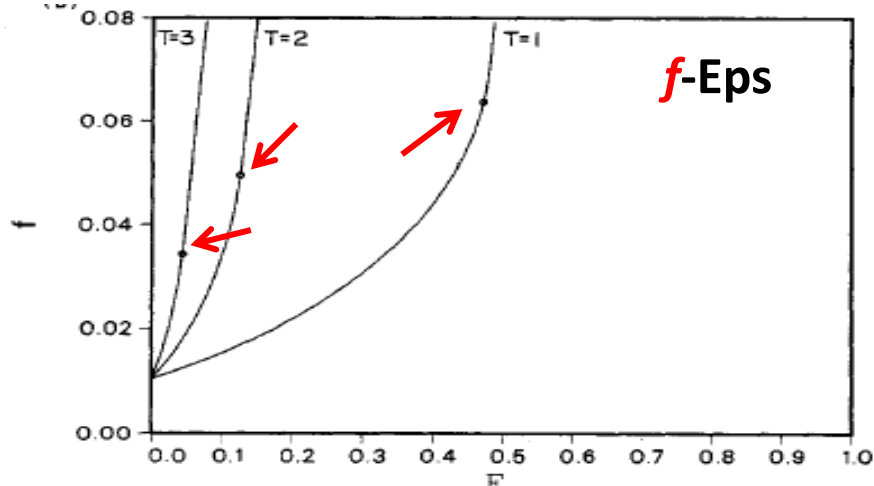
Koplik & Needleman (1988) : cellule axisymétrique, cavité sphérique $r_0=0.25$ $f_0=0.0104$.

Les points marquent la transition vers la **déformation uniaxiale** pour $f_c \approx 0.035-0.050-0.065$ (triaxialité **T=3-2-1**)



T=η=triaxialité des contraintes

Un modèle de type **$f=f_c$** n'est pas en accord avec ces résultats



Condition cinématique nécessaire de localisation macroscopique

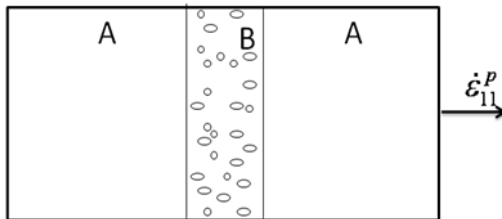
Adoucissement dans une bande B

⇒ Blocs A en décharge élastique (**déformation uniaxiale**)

$$\dot{\varepsilon}_{22}^P \cong \dot{\varepsilon}_{33}^P \cong 0 \Rightarrow \dot{\varepsilon}_m^P \cong \dot{\varepsilon}_{11}^P / 3$$

$$\dot{\varepsilon}_{12}^P = \dot{\varepsilon}_{13}^P = 0 \Rightarrow \dot{\varepsilon}_{eq}^P \cong 2\dot{\varepsilon}_{11}^P / 3$$

$$\Rightarrow \dot{\varepsilon}_m^P \cong \dot{\varepsilon}_{eq}^P / 2$$

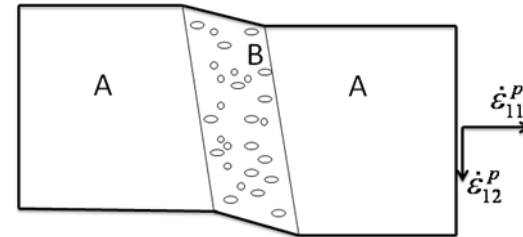


cavités **nécessaires**
(variation de volume)

avec cisaillement

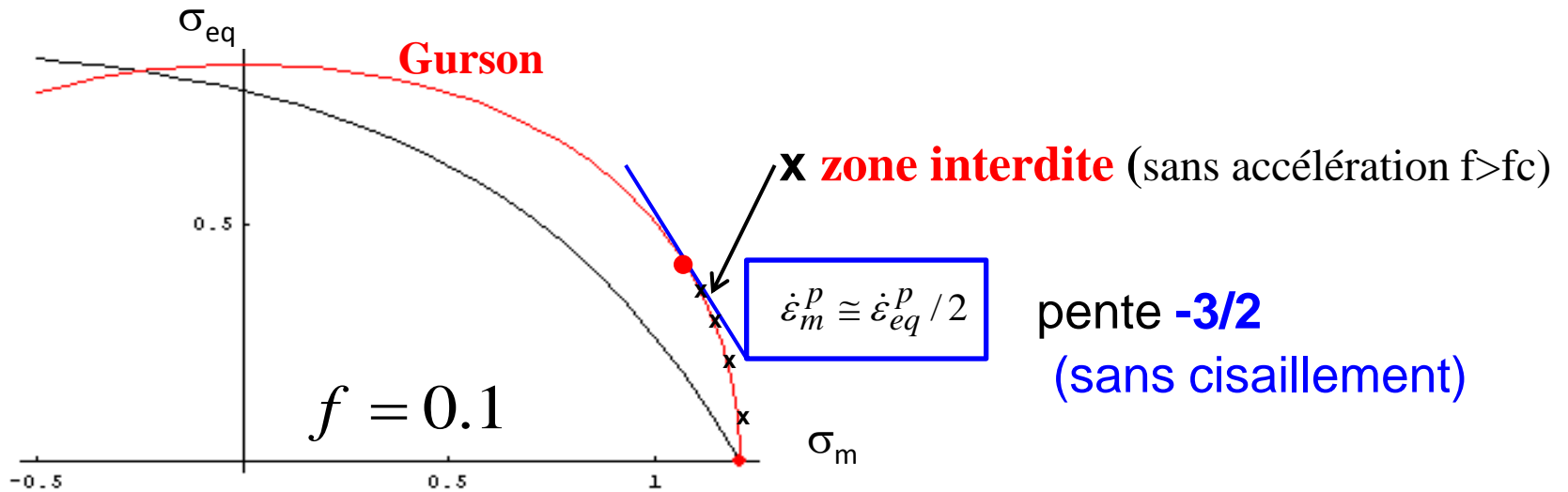
$$\dot{\varepsilon}_{12}^P \neq 0 \quad \text{et/ou} \quad \dot{\varepsilon}_{13}^P \neq 0$$

$$\Rightarrow \dot{\varepsilon}_m^P \leq \dot{\varepsilon}_{eq}^P / 2$$



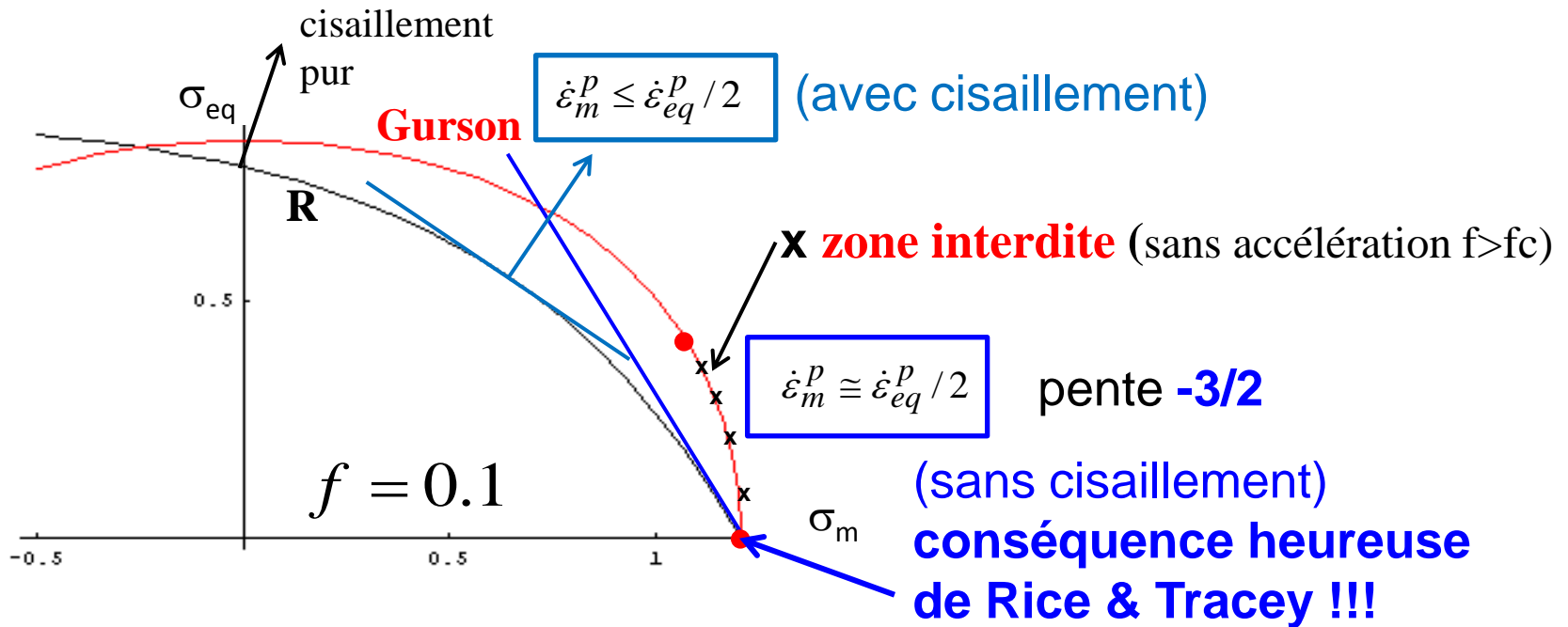
Localisation possible **sans**
cavités (rupture en
cisaillement avec $\dot{\varepsilon}_m^P = 0$)

Conséquences de la condition nécessaire I



Gurson : condition vérifiée dans une très petite région seulement
 A faible triaxialité des contraintes, croissance des cavités
 très faible ou nulle.

Conséquences de la condition nécessaire II



Gurson : condition vérifiée dans une très petite région seulement
 A faible triaxialité des contraintes, croissance des cavités très faible ou nulle.

Rousselier : condition sans cisaillement vérifiée dans une large zone, croissance de cavités possible à faible triaxialité (cisaillement).

Pourtant GTN permet de simuler correctement des essais de rupture ductile sur éprouvettes (à triaxialité des contraintes η élevée, telle que $\sinh \approx \exp/2$)

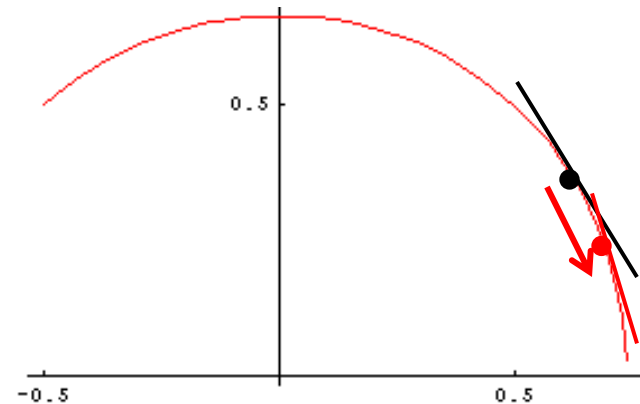
$\dot{f}_{croissance} = 3(1-f)\dot{\epsilon}_m^p$ équation de conservation de la masse

$\dot{f}_{croissance} = K \frac{3q_1q_2}{4} f \left[2 \sinh \left(\frac{3q_2\sigma_m}{2\sigma_Y} \right) \right] \dot{p}$ **GTN** $D = 3\alpha = 3 q_1 q_2 / 4$

$f^* = \begin{cases} f, & \text{for } f \leq f_c \\ f_c + K(f - f_c), & \text{for } f > f_c. \end{cases}$

$f > f_c$ augmente $\dot{\epsilon}_m^p / \dot{p}$ d'un facteur **K**

N.B. : **K** est parfois noté δ



Le paramètre **fc** permet d'obtenir la coalescence

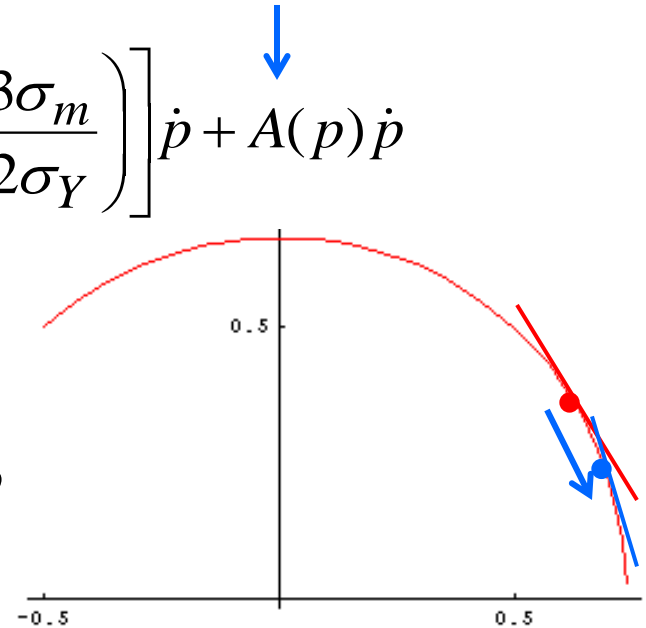
$$\dot{f}_{\text{croissance}} = 3(1-f)\dot{\epsilon}_m^P$$

$$\dot{f} = \dot{f}_{\text{croissance}} + \dot{f}_{\text{amorçage}} = K \frac{3q_1q_2}{4} f \left[2 \sinh \left(\frac{3\sigma_m}{2\sigma_Y} \right) \right] \dot{p} + A(p) \dot{p}$$

$A(p)$ est un terme d'amorçage de nouvelles cavités

Ce terme n'augmente pas *directement* $\dot{f}_{\text{croissance}}$

il augmente f donc in fine $\dot{\epsilon}_m^P$ et le rapport $\dot{\epsilon}_m^P / \dot{p}$



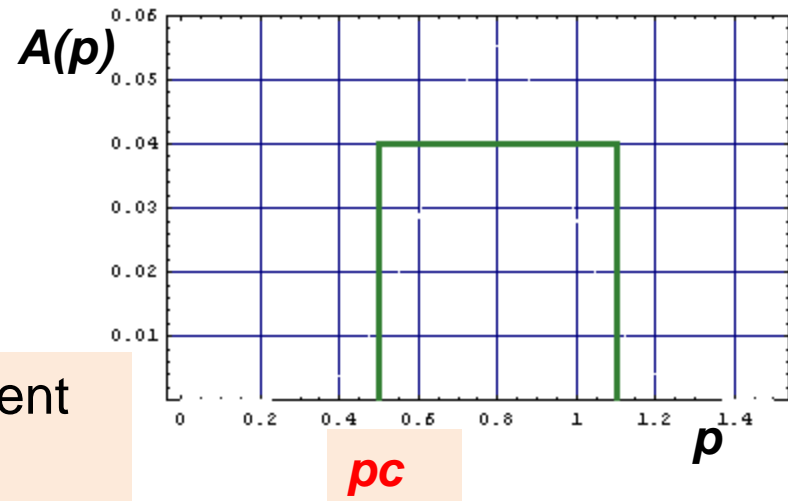
Exemple : $A(p)$ constant par morceaux

$A(p)=0.04$ de $p=pc=0.5$ à $p=pu=1.1$

$A(p)=0$ pour $p < pc=0.5$

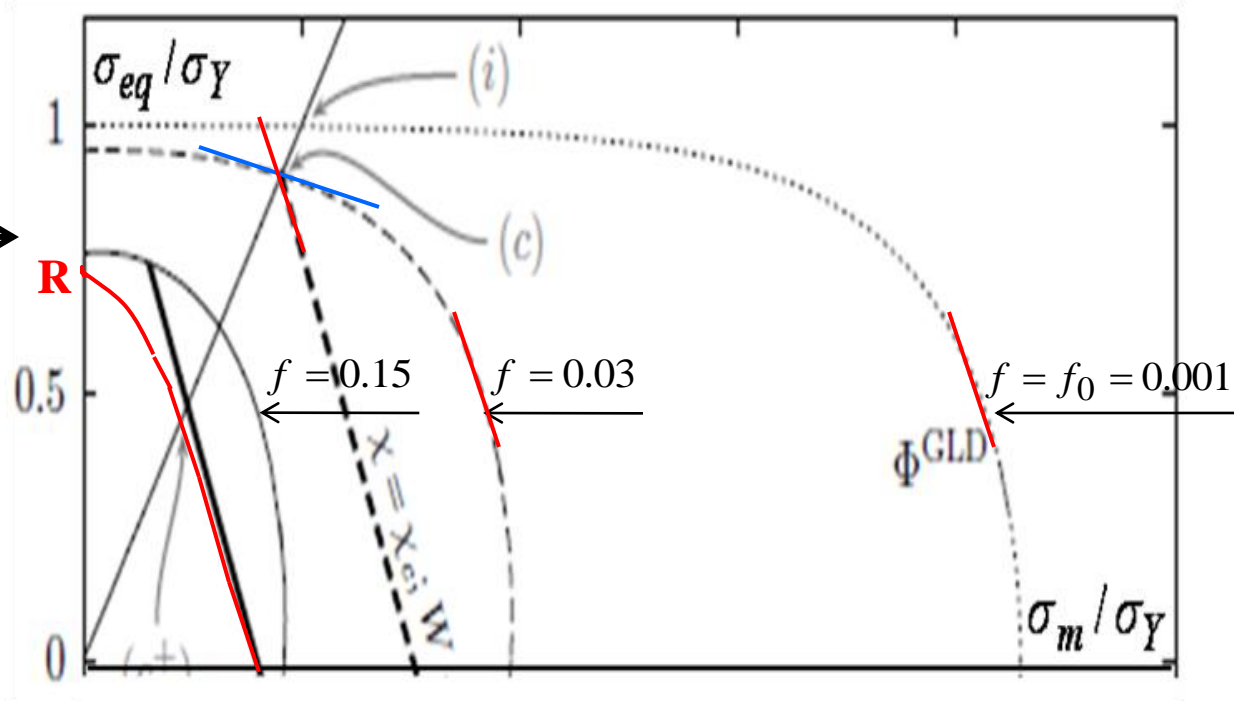
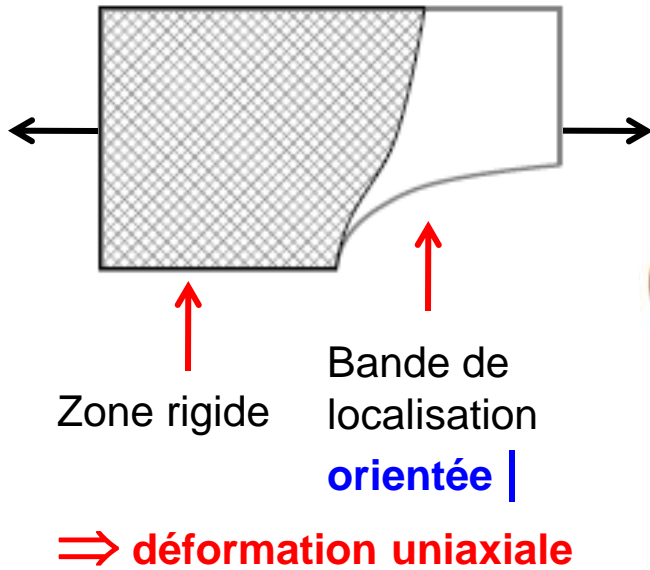
fraction volumique amorçable

$fN=0.04*(1.1-0.5)=0.024$



Les deux paramètres fc et pc permettent d'obtenir la coalescence

Couplage GTN et modèles de coalescence de type Thomason (1968)

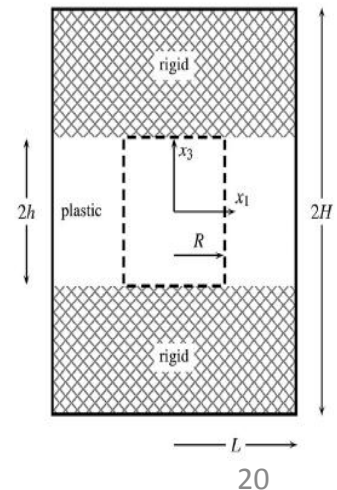


Benzerga & Leblond (2010)

Lignes droites \ = modèle Thomason-Benzerga, pente **-3/2** en accord avec la condition $\dot{\epsilon}_m^p \cong \dot{\epsilon}_{eq}^p / 2$

Il se substitue au modèle de type GTN à $f = 0.03$

Structures : il faut **N** modèles de type Thomason !!!



Extension de GTN à la rupture en cisaillement (à triaxialité des contraintes η faible)

Nahshon-Hutchinson (2008)

$$\dot{f} = (1-f)\dot{\varepsilon}_{kk}^P + k_\omega f \omega(\underline{\sigma}) \frac{s_{ij}\dot{\varepsilon}_{ij}^P}{\sigma} \quad \omega(\underline{\sigma}) = 1 - \left(\frac{27J_3}{2\sigma^3} \right) = \sin^2(3\theta)$$

équation de conservation de la masse

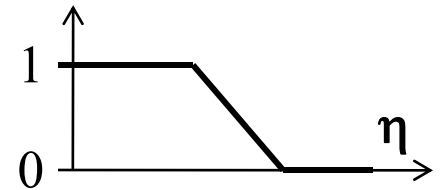
$$\dot{f} = 3(1-f)\dot{\varepsilon}_m^P$$

terme additionnel dépendant de l'angle de LODE θ
ne vérifiant pas la conservation de la masse

(est-ce de la micromécanique ?)

Nahshon et Xue (2009): “in the modified model, the void volume fraction is no longer directly tied to the plastic volume change and must be regarded either as an *effective* void volume fraction or **simply as a parameter measuring the damage accumulation.**”

Noter que cela impacte GTN à forte triaxialité, Nielsen et Tvergaard (Eng. Frac. Mech. 2010) ajoutent une fonction multiplicative variant de 1 à 0 avec la triaxialité.



(est-ce de la micromécanique ?)

Deux parties

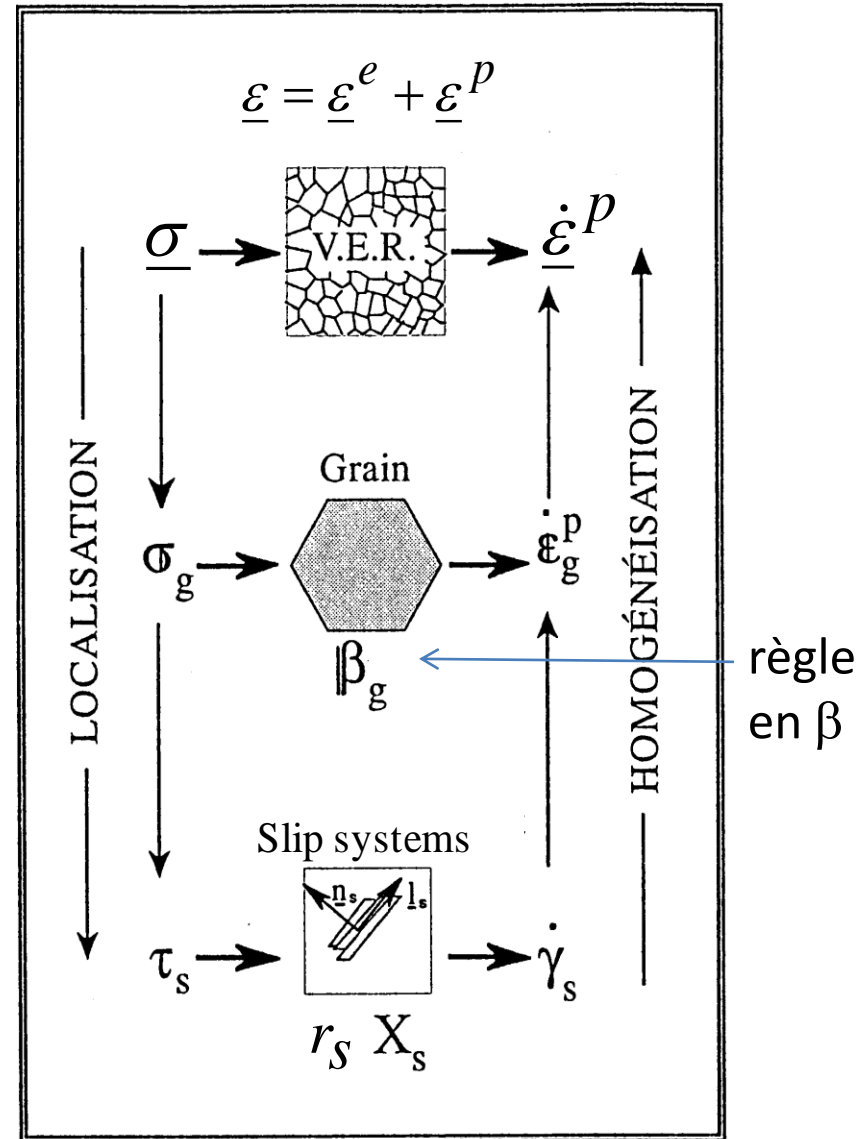
**Les modèles classiques de rupture ductile en discussion
(modèles macroscopiques)**

**La modélisation multi-échelles de la rupture ductile
(et de la plasticité)
en relation avec les mécanismes**

Cadre de modélisation multi-échelles : un modèle de **plasticité polycristalline** auto-cohérent (3 échelles)
Texture réduite (temps de calcul)

Limites des modèles basés sur une surface de charge plastique pour l'anisotropie induite par la déformation et les trajets de chargement **non proportionnels** (endommagement-fissuration !!)

Les grains du modèle diffèrent uniquement par leurs orientations cristallines



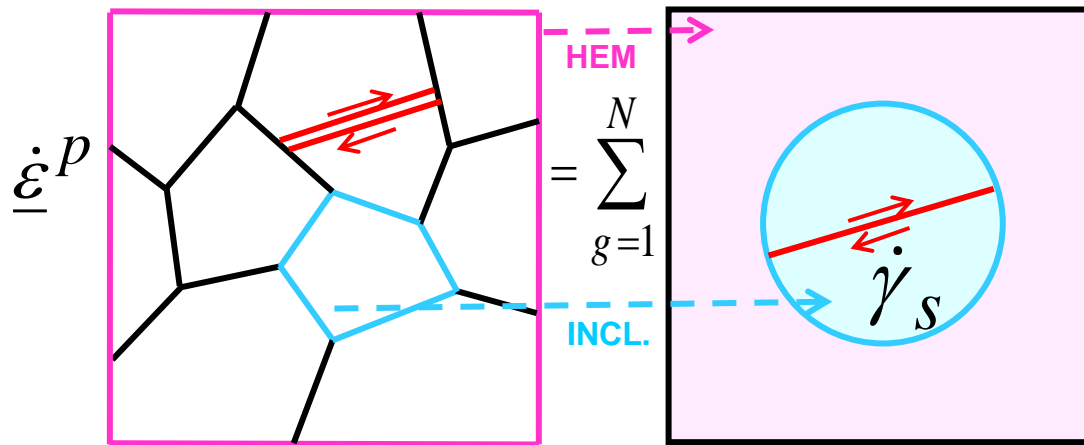
(figure Ph. Geyer)

Modèles I

Vitesse de glissement **microscopique** $\dot{\gamma}_s = \left(\frac{|\tau_s - X_s| - r_s}{K} \right)^n$

Vitesse de déformation macroscopique $\dot{\underline{\epsilon}}^P = \sum_{g=1}^N f_g \sum_{s=1}^M \underline{m}_{sg} (\dot{\gamma}_s)$

Modèle **polycristallin** auto-cohérent
(inclusion dans le HEM : homogeneous equivalent medium)



Mécanisme Physique

Modèle

versus

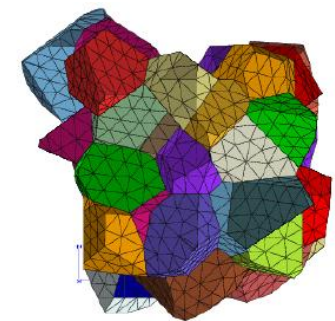


FIG. 7 – Maillage d'un agrégat polycristallin à 50 grains et 25000 noeuds

25000 noeuds

Modèles II

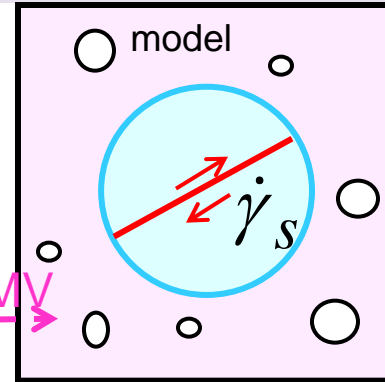
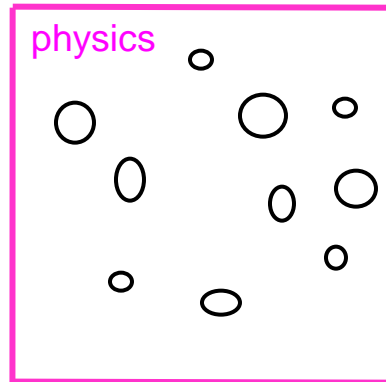
Vitesse de glissement **microscopique**

$$\dot{\gamma}_s = \left(\frac{|\tau_s - X_s| - r_s}{K} \right)^n$$

$$\underline{\dot{\epsilon}}^P = (1-f) \sum_{g=1}^N f_g \sum_{s=1}^M \underline{m}_{sg} \dot{\gamma}_s + f \frac{D_1}{3} \exp\left(\frac{\sigma_m^*}{(1-f)\sigma_1} \right) \underline{\dot{\epsilon}}_{eq}^P$$

Modèle **polycristallin**

Modèle de **Plasticité poreuse**



+ modèle d'**amorçage** des cavités
Chu-Needleman (1980)

Potentiel plastique

$$\frac{\sigma_{eq}}{1-f} - \left(\sum_{g=1}^N f_g \underline{\sigma}_g \right)_{eq} + D_1 f \sigma_1 \exp\left(\frac{\sigma_m^*}{(1-f)\sigma_1} \right) = 0$$

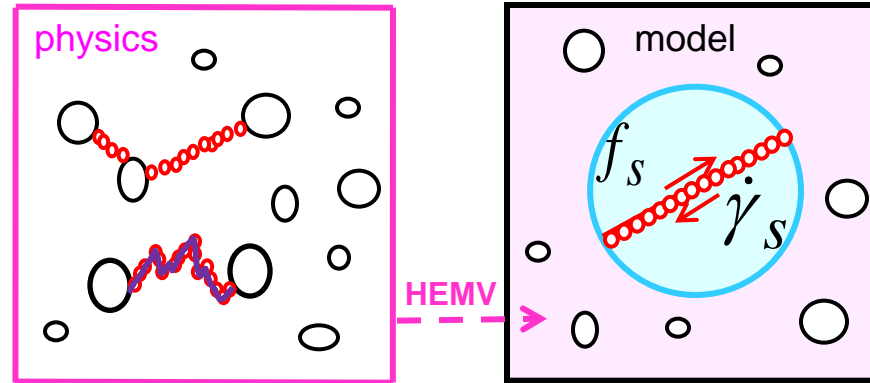
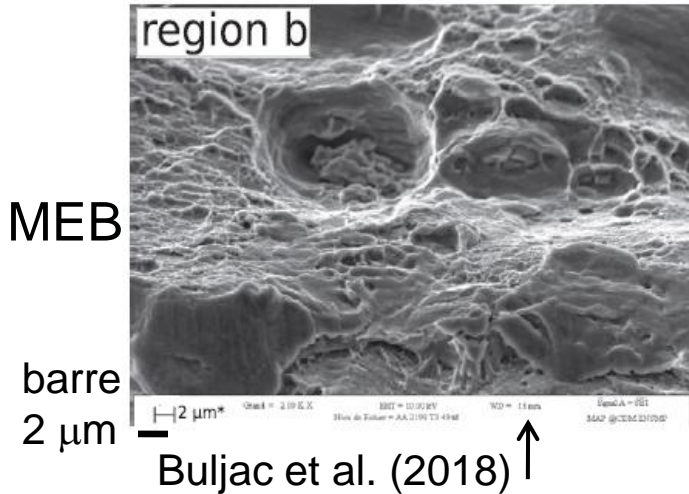
Ecrouissage polycristallin

Effet de la triaxialité des contraintes
Rousselier (1981)

(Couplage impossible avec **Gurson**)

Modèles III Cavités à l'échelle du grain

Distribution bimodale: micrométrique et **sub-micrométrique**



Coalescence en nappe (void sheet)

+ modèle d'amorçage
sub-micrométrique
 Chu-Needleman (1980)

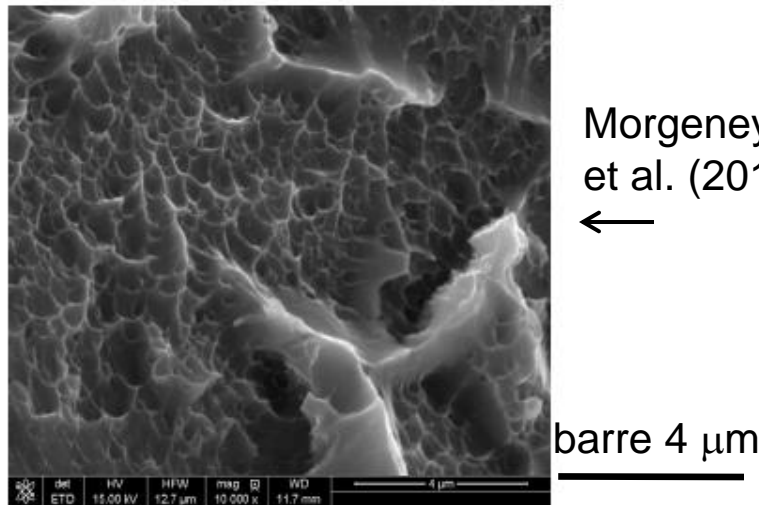


Fig. 14. Fractography taken in the slant fracture region showing nanometric dimples (at ~ 1 mm from the notch of a different specimen).

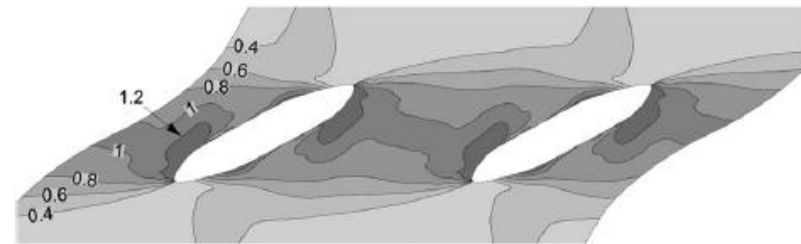
potentiel plastique

$$F(\underline{\sigma}) = \frac{\sigma_{eq}}{1-f} - \left(\sum_{g=1}^N f_g \underline{\sigma}_g \right)_{eq} + \left(f + \sum_{g=1}^N f_g \left[\sum_{s=1}^M f_s \right]_g \right) D_1 \sigma_1 \exp \left(\frac{\sigma_m^*}{(1-f)\sigma_1} \right) = 0$$

modèle de croissance

sub-micrométrique

$$\dot{f}_s = \left[(1-f_s) D_{12} f_s \exp \left(\frac{|\tau_s|}{\tau_{12}} \right) + A_2 \right] \left(\frac{\dot{\gamma}_s}{2} \right) \quad ?$$



(Nielsen & Tvergaard, 2011)

modèle d'amorçage

sub-micrométrique

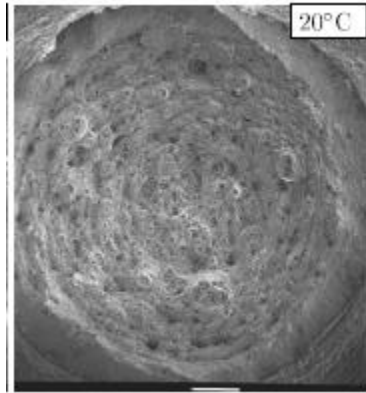
$$A_2([\underline{\varepsilon}_g]_{eq}^p) = \frac{f_{N2}}{\sigma_{N2} \sqrt{2\pi}} \exp \left[- \left(\frac{[\underline{\varepsilon}_g]_{eq}^p - \varepsilon_{N2}}{\sigma_{N2} \sqrt{2}} \right)^2 \right]$$

Modèle Chu-Needleman (1980)

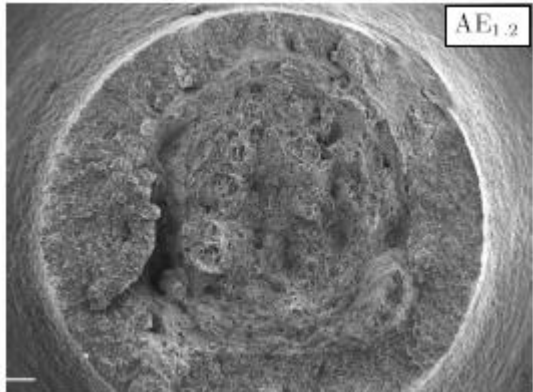
$$A = \frac{f_N}{\sigma_N \sqrt{2\pi}} \exp \left[- \left(\frac{\varepsilon_{eq}^p - \varepsilon_N}{\sigma_N \sqrt{2}} \right)^2 \right]$$

Première application (acier)

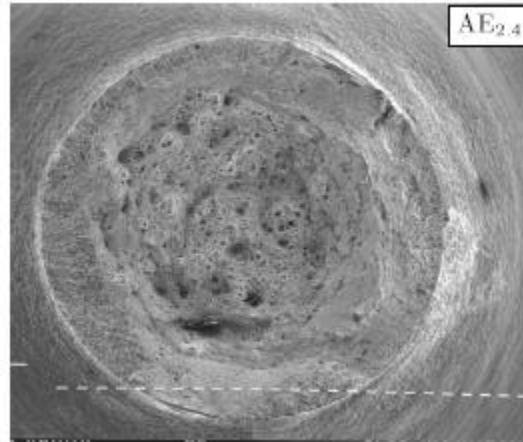
Thèse B. Tanguy (2001)
Acier **16MND5**



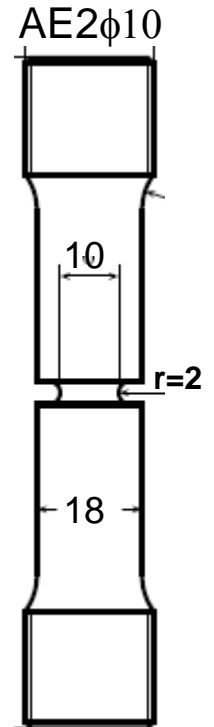
AE2 ϕ 6 à 20°C
Rupture ductile plate
puis en cisaillement

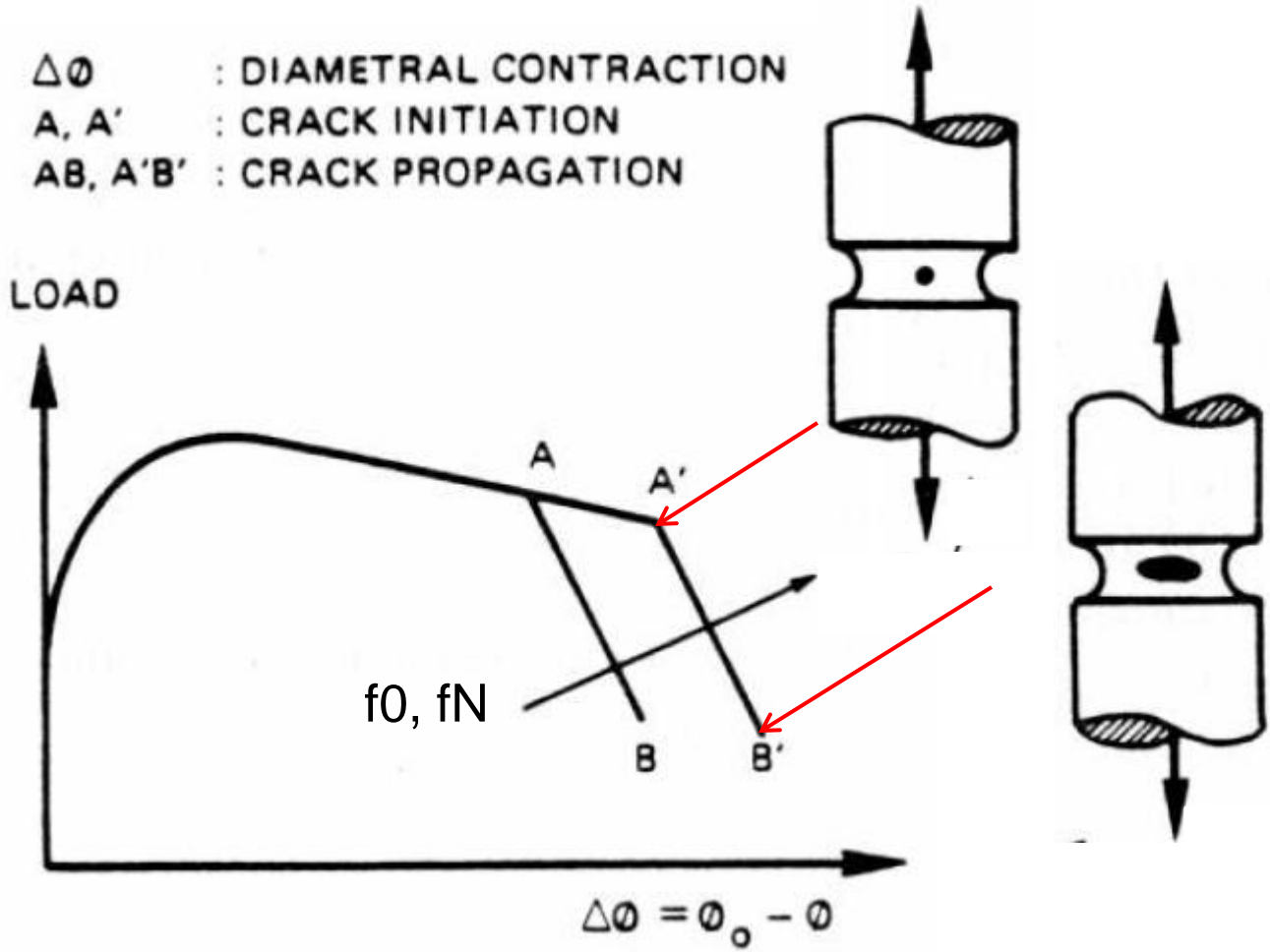


AE2 ϕ 6 à 20°C
Rupture finale à -196°C
(clivage)



AE4 ϕ 6 à 20°C
Rupture finale à -196°C
(clivage)





Changement de topologie boule → sphère creuse
 induisant une rupture de pente à l'amorçage
 (non perturbée par la striction comme en traction lisse)

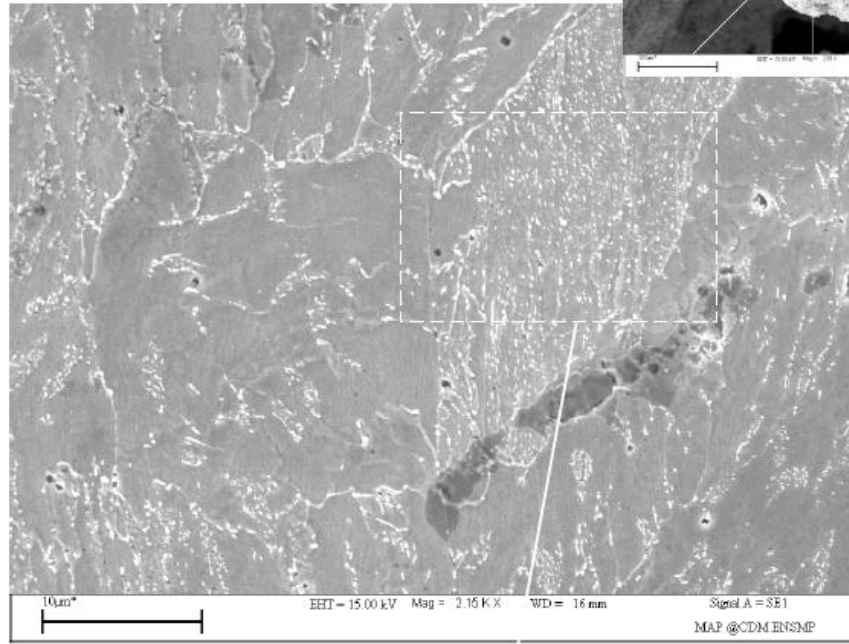
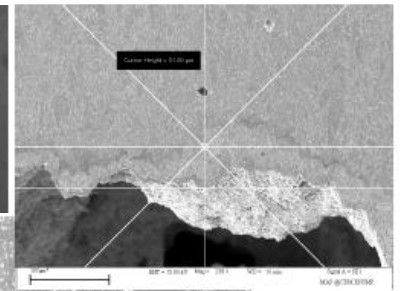
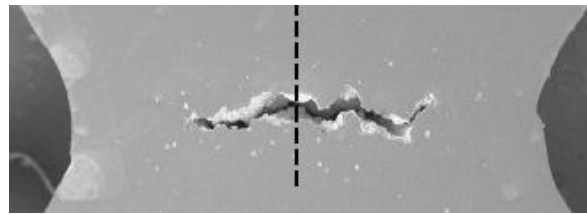
AE4φ6 à 20°C

Thèse B. Tanguy (2001)

Acier **16MND5**

Teneur en carbures 2.4%

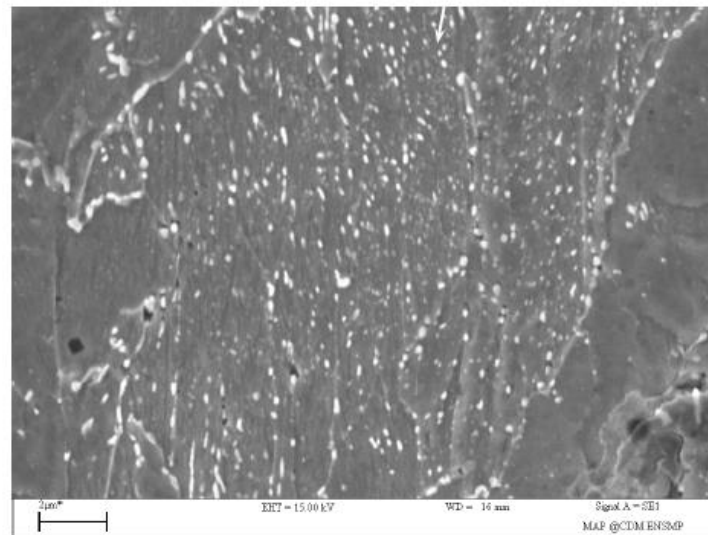
Rayon moyen des carbures 0.1 μm



barre
100 μm

barre
10 μm

**Cavités
sub-micrométriques
formées sur les
carbures**



barre
2 μm

Thèse B. Tanguy (2001)

Acier **16MND5**

0.16% de carbone donne 2.4% de carbures

Rayon moyen des carbures 0.1 μm

$$\dot{f}_{nucl} = A_2 \dot{\varepsilon}_{eq}^p = A_2 \dot{p}$$

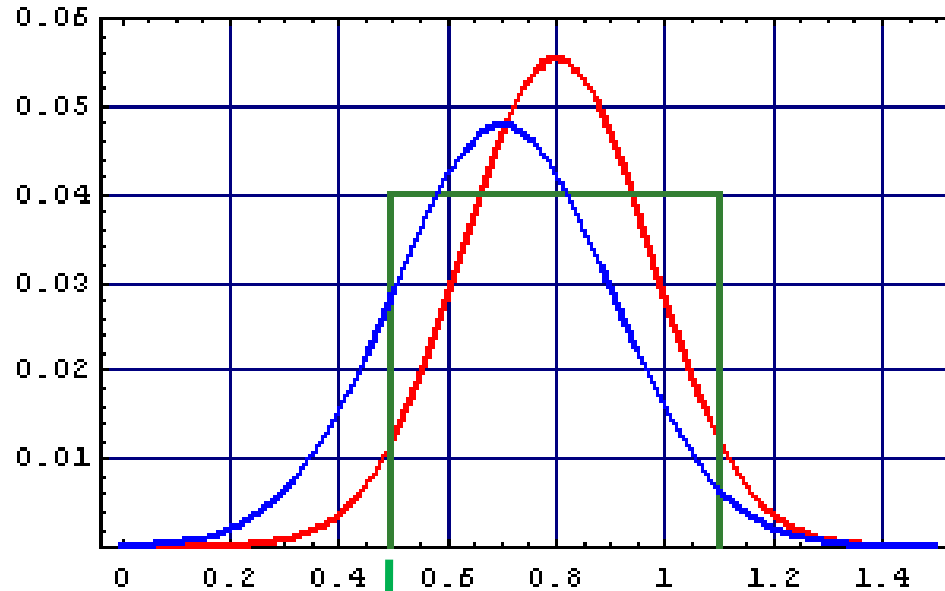
$$A_2 = \frac{f_{N2}}{\sigma_{N2} \sqrt{2\pi}} \exp \left[- \left(\frac{(\underline{\varepsilon}_g)_{eq}^p - \varepsilon_{N2}}{\sigma_{N2} \sqrt{2}} \right)^2 \right]$$

f_{N2}	ε_{N2}	s_{N2}
0.024	0.8	0.1732
0.024	0.7	0.15

$$\underline{A_2([\underline{\varepsilon}_g]_{eq}^p)}$$

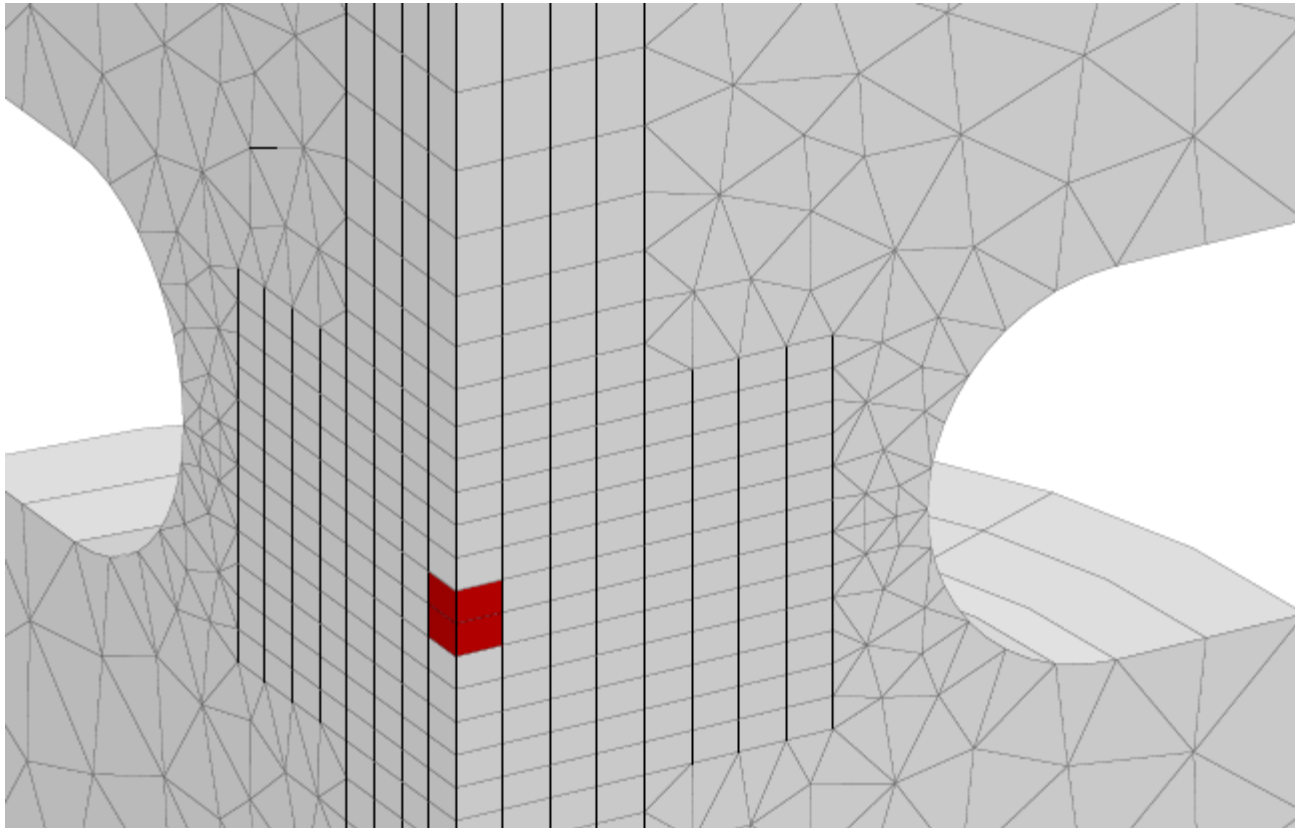
$A_2 = \text{constante}$

(B. Tanguy)

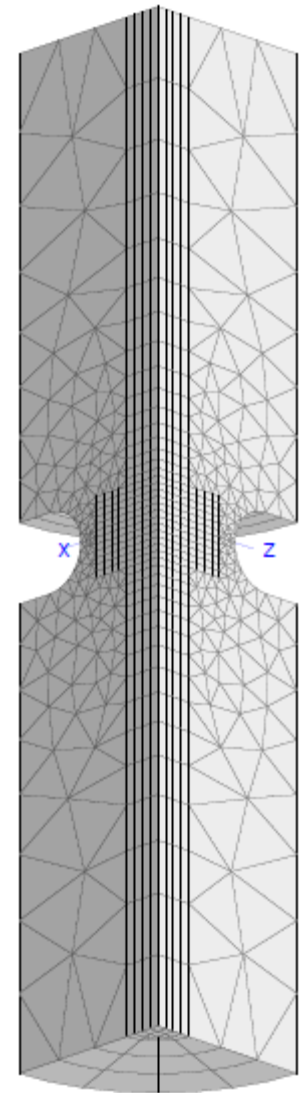


$pc=0.5$

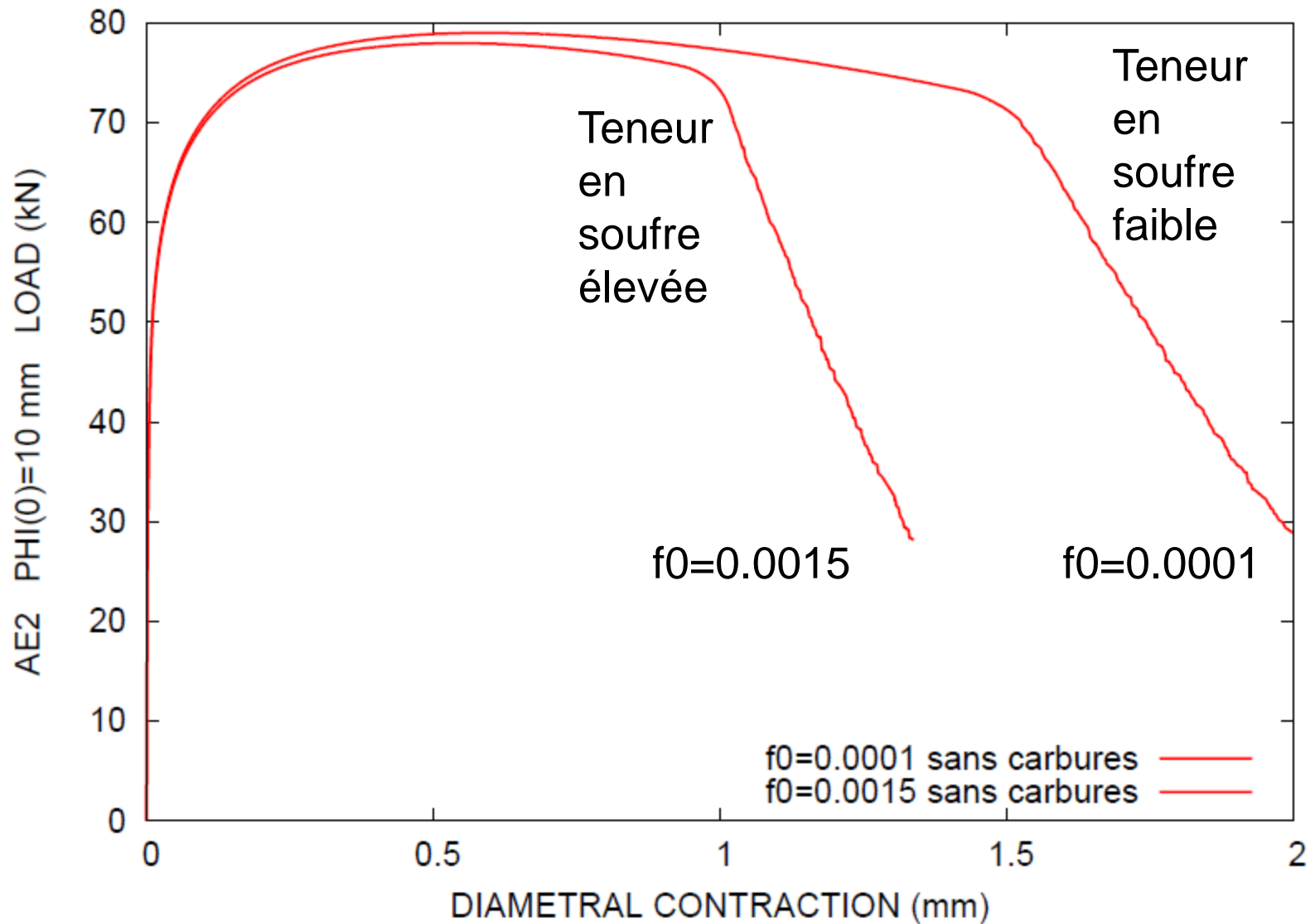
Maillage AE2 $\Phi 10$ mm



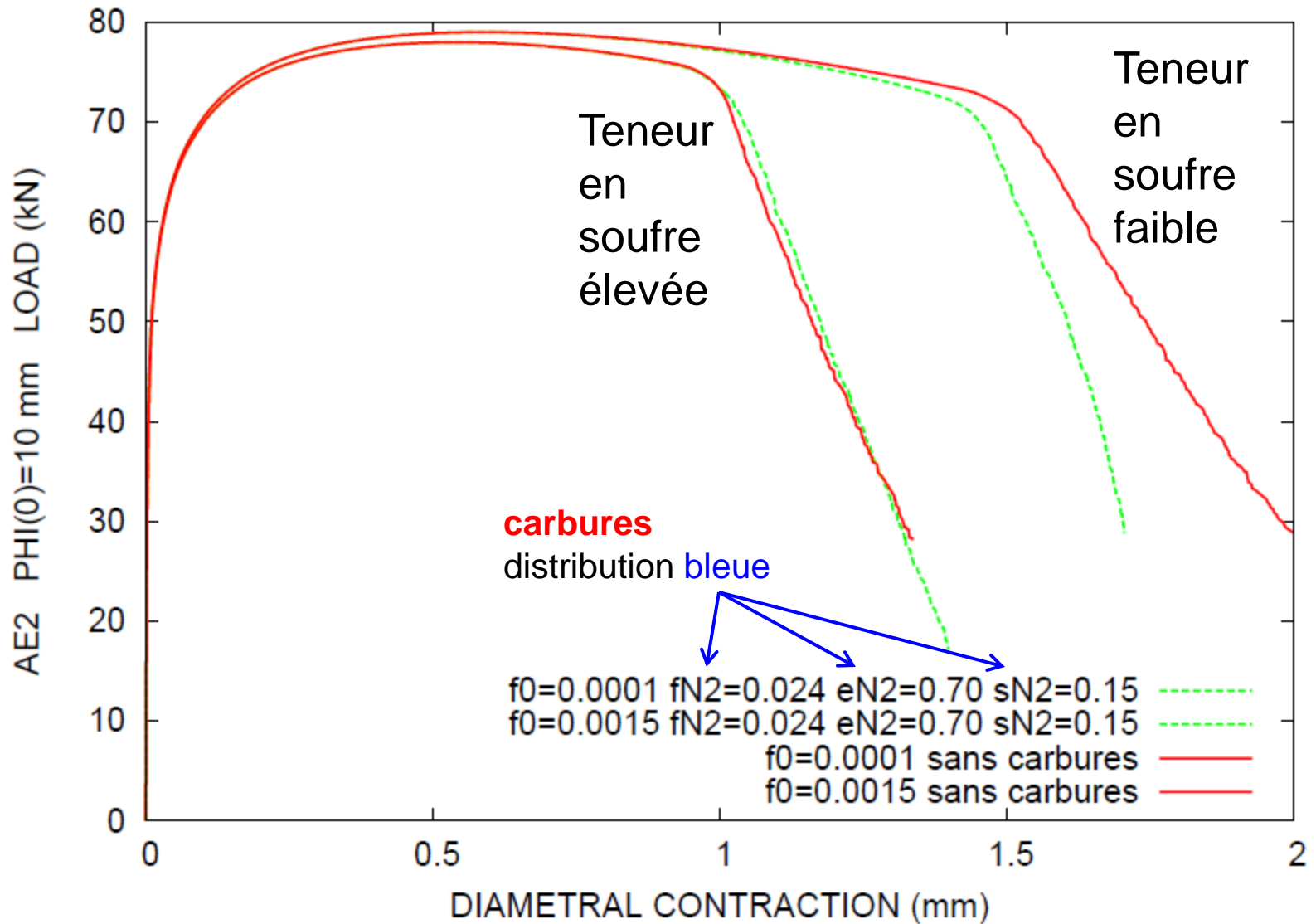
Maillage cartésien $h_c=1/3$ mm



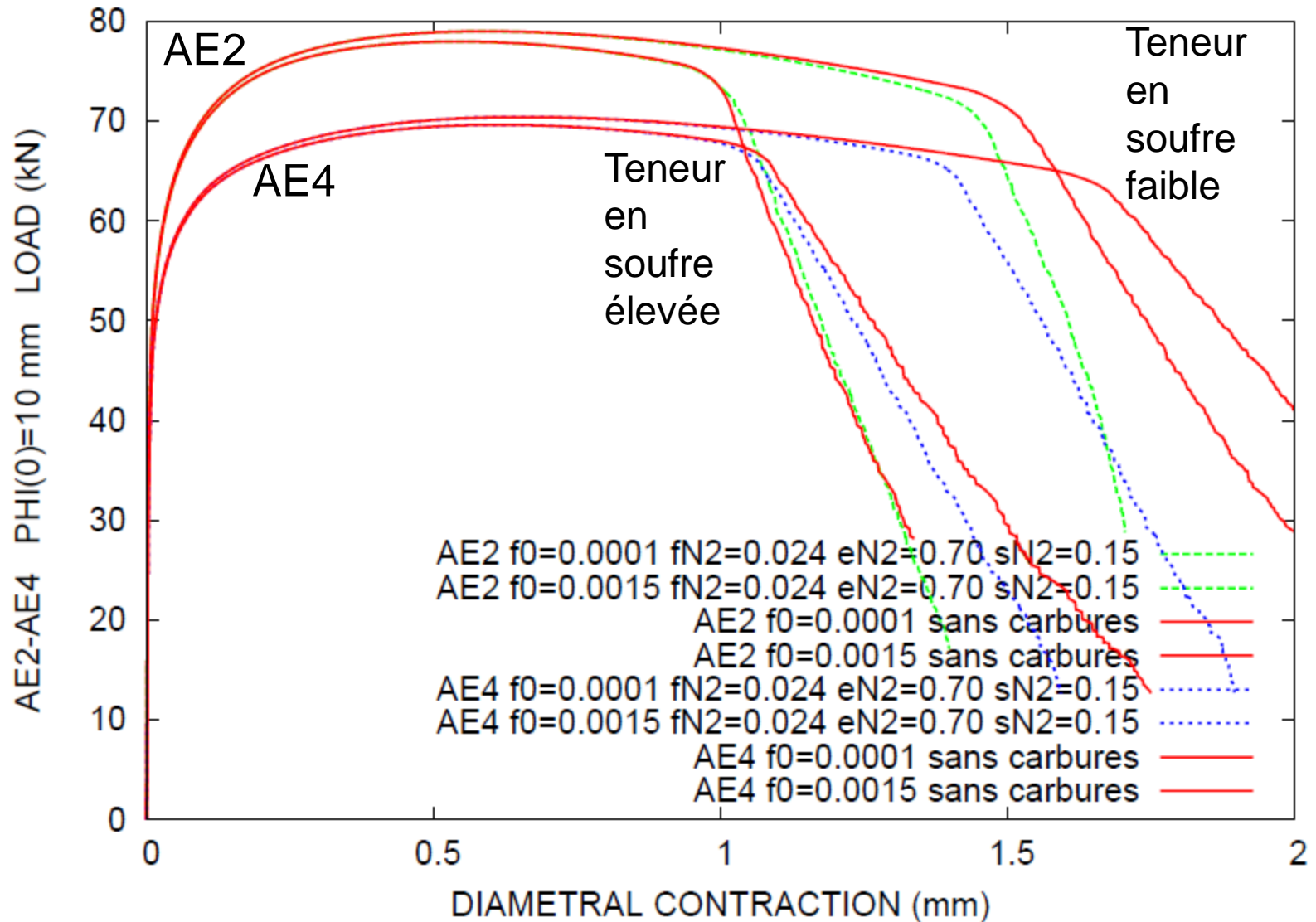
Calculs AE2 avec les seules cavités micrométriques formées sur les **MnS**



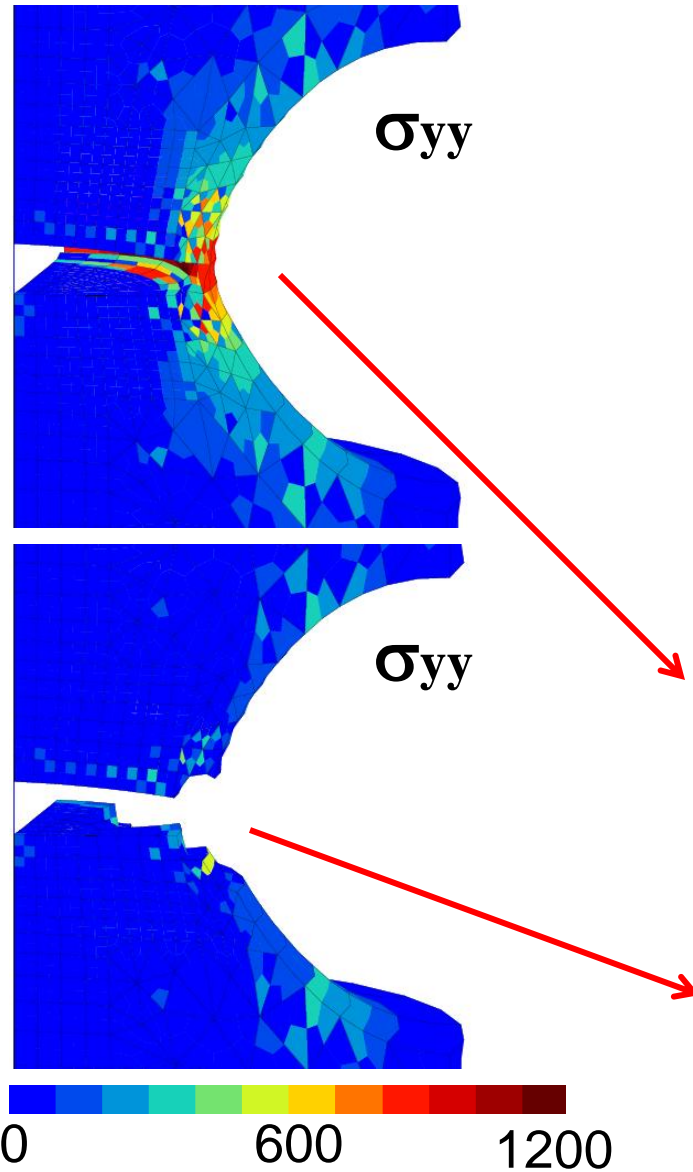
AE2. Effet des cavités sub-micrométriques formées sur les **carbures**



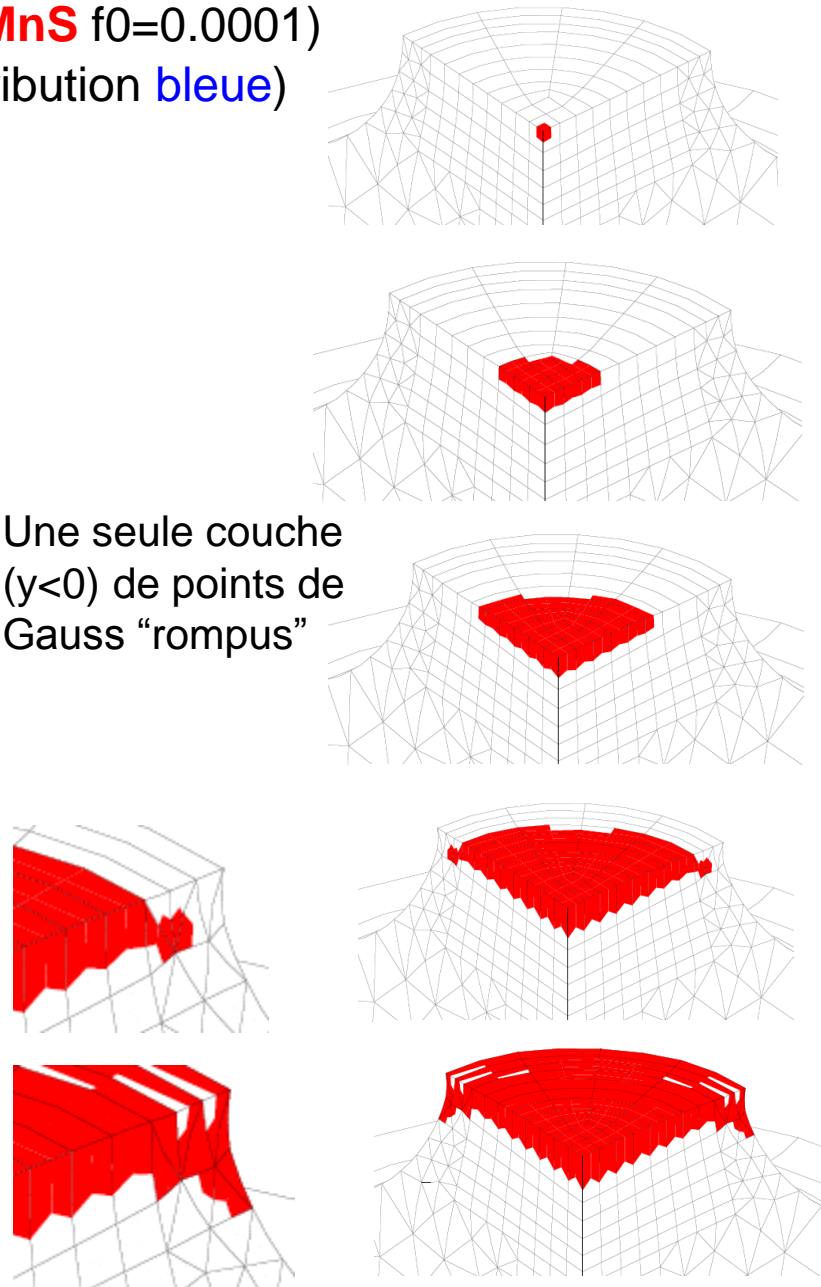
Calculs AE2 et AE4. Effet des **carbures**



Propagation de la fissure (**AE4**, **MnS** $f_0=0.0001$)
(**carbures** distribution **bleue**)



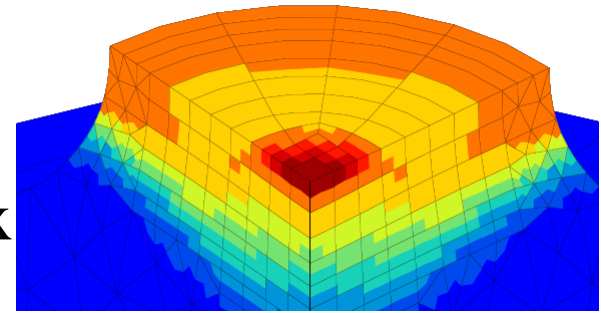
Une seule couche
($y < 0$) de points de
Gauss "rompus"



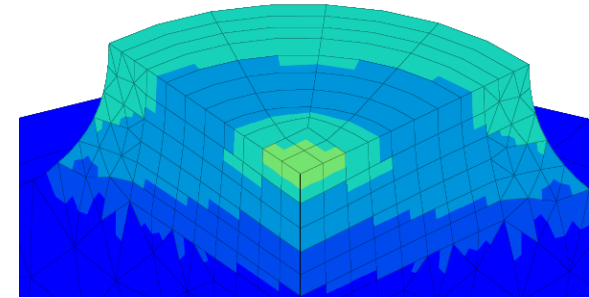
Hétérogénéité de la déformation
entre grain le plus déformé
et grain le moins déformé

(à l'amorçage de la fissure)
(**AE4**, f0=0.0001)

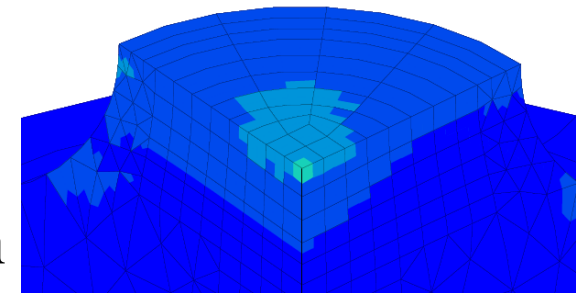
$$[\underline{\varepsilon}_g]_{eq}^p \text{ max}$$



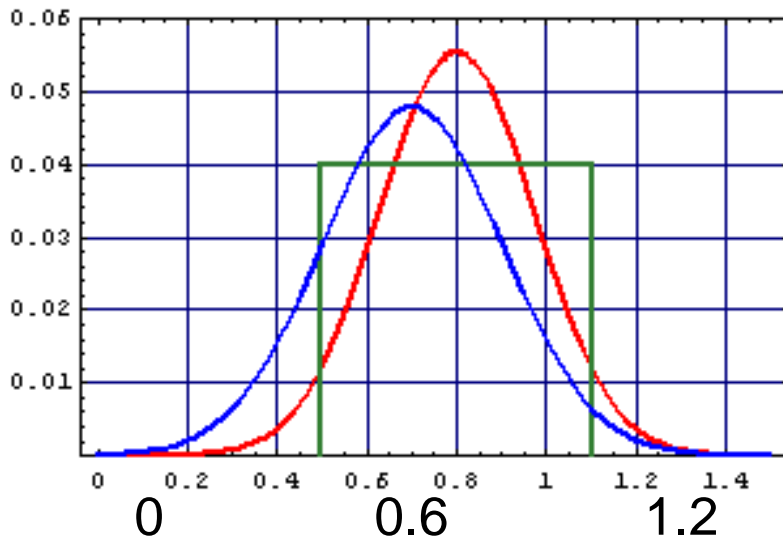
macroscopique $\underline{\varepsilon}^p = \left[\sum_{g=1}^N f_g \underline{\varepsilon}_g^p \right]_{eq}$



$$[\underline{\varepsilon}_g]_{eq}^p \text{ min}$$

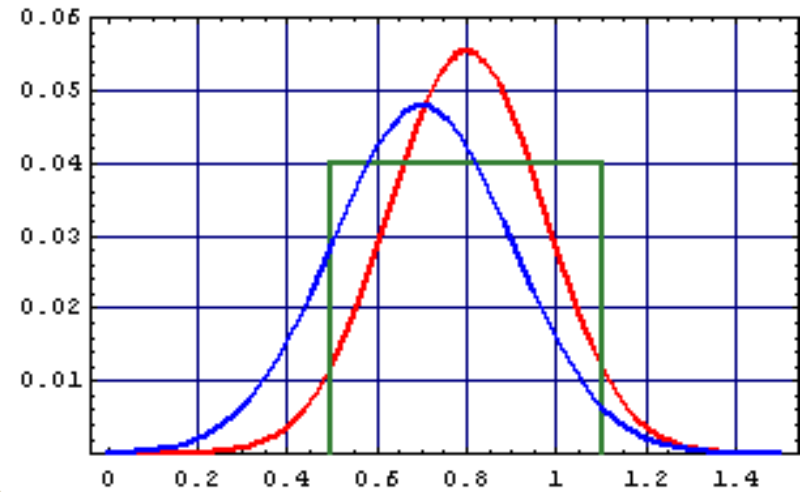


(calculs EF avec
distribution **bleue**)

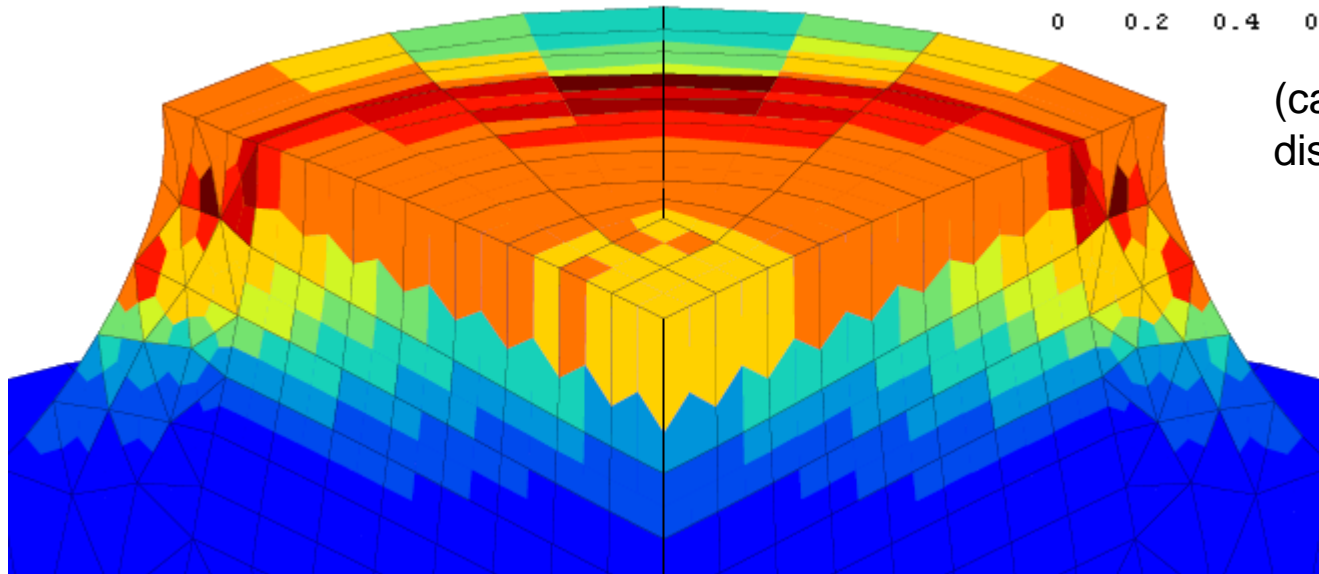


Fraction volumique de carbures
ayant amorcé une cavité

(un peu avant la rupture finale)



(calculs EF avec
distribution **bleue**)



fraction volumique totale
des carbures = **0.024**

25% des carbures (thèse B. Tanguy, 2001)

recalage expérimental distribution **rouge** → **bleue**

Un modèle **macroscopique** de plasticité poreuse
peut donner des résultats équivalents 
(bien que partiels, car variables macro uniquement)

$$\dot{f} = \dot{f}_{MnS} + \dot{f}_{Carbures}$$



Amorçage au début
de la déformation

Un modèle **macroscopique** de plasticité poreuse peut
donner des résultats équivalents 
(bien que partiels, variables macro seulement)

$$\dot{f} = \dot{f}_{MnS} + \dot{f}_{Carbures}$$



Amorçage au début
de la déformation



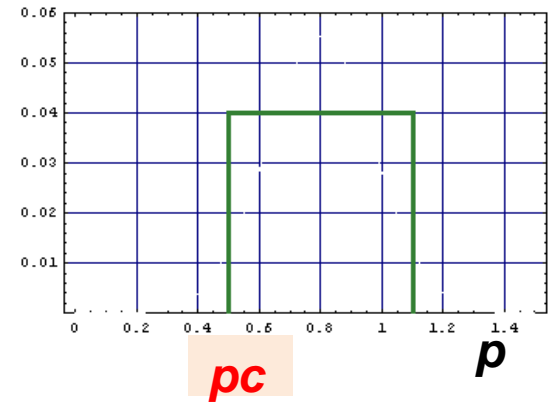
Second amorçage

à forte déformation

(avec la **même** variable f)



$A(p)$



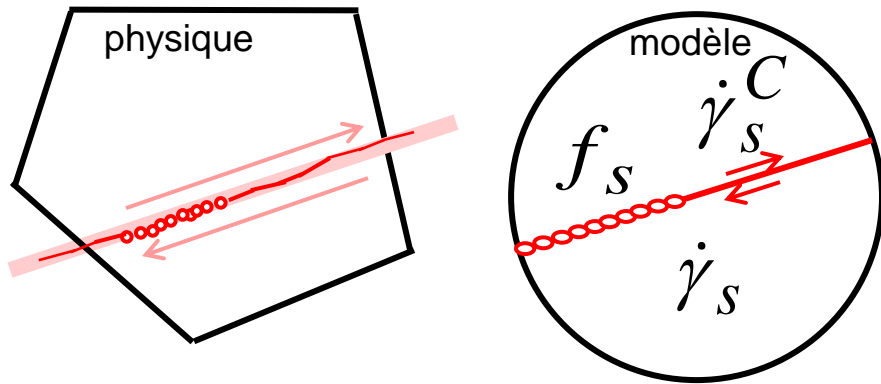
Ce ne sont pas les mêmes cavités et elles ne sont pas aux mêmes échelles

Perspectives

Ce qui manque pour l'effet des carbures

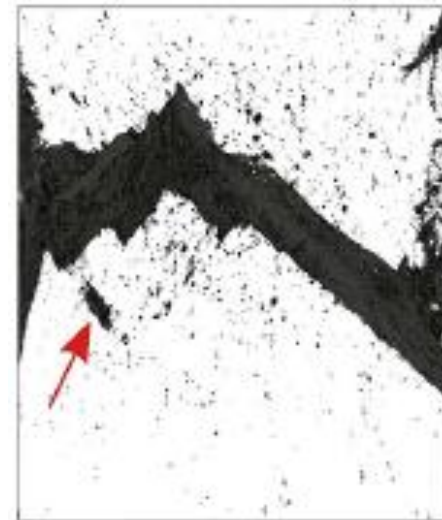
1. Des modèles micromécaniques **spécifiques** pour les cavités secondaires
2. Des données expérimentales quantitatives sur ces cavités : **nano-tomographie ?**

Seconde application (aluminium)

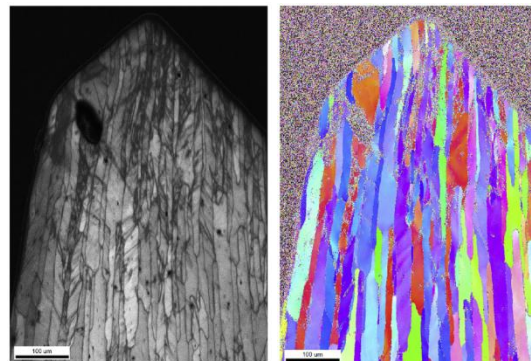


Démonstration de l'existence de la fissuration
cristallographique transgranulaire
(Buljac, Morgeneyer et al., **2018**)
Tôle mince 2198 Al-Cu-Li, éprouvette CT

coupe polie



laminographie



Vitesse de glissement **microscopique**

$$\dot{\gamma}_s = \left(\frac{|\tau_s - X_s| - r_s}{K} \right)^n$$

Modèles IV

Déformation plastique **macroscopique**

$$\underline{\dot{\epsilon}}^P = (1-f) \sum_{g=1}^N f_g \sum_{s=1}^M \underline{m}_{sg} (\dot{\gamma}_s + \dot{\gamma}_s^C) + f \frac{D_1}{3} \exp\left(\frac{\sigma_m^*}{(1-f)\sigma_1} \right) \underline{\dot{\epsilon}}_{eq}^p$$

Modèle **polycristallin**

Modèle de "plasticité poreuse"

DISSIPATION ($b_0=2$ « petit »)
C (γ^C) pour **Coulomb**

$$|\tau_s| + c_0 \sigma_n = R_0 \exp(-b_0 \gamma_{cum}^C)$$

Modèle de rupture de Coulomb (1773) pour chaque système de glissement $s=1, M$ dans chaque $g=1, N$

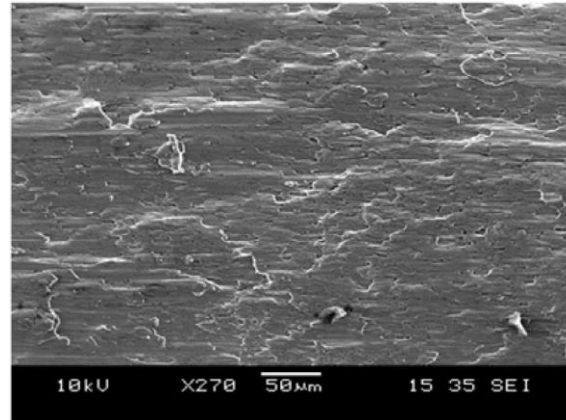
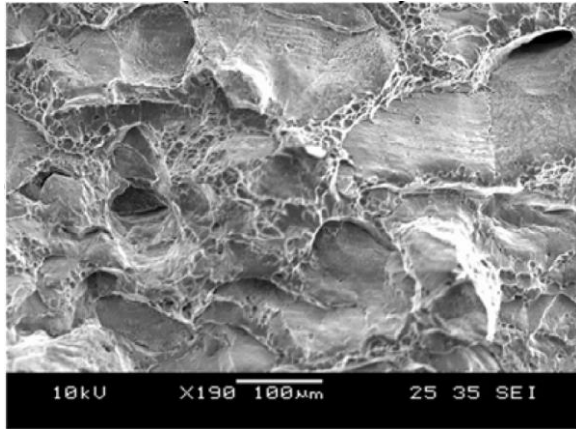
Vitesse de glissement
 « **de Coulomb** »

$$\dot{\gamma}_s^C = \left(\frac{|\tau_s| + c_0 \sigma_{ns} - R_0 \exp(-b_0 \gamma_{cum}^C)}{K} \right)^n$$

OBSERVATIONS EXPERIMENTALES

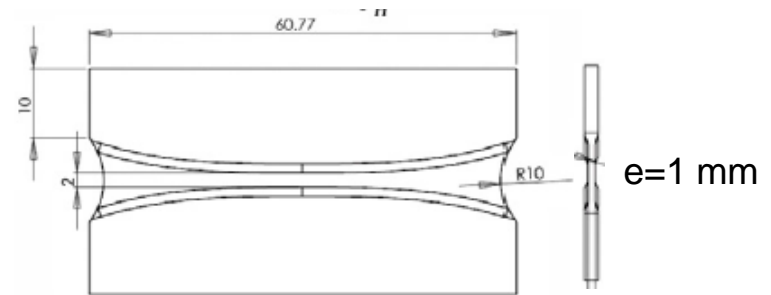
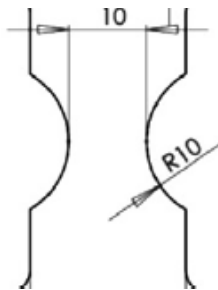
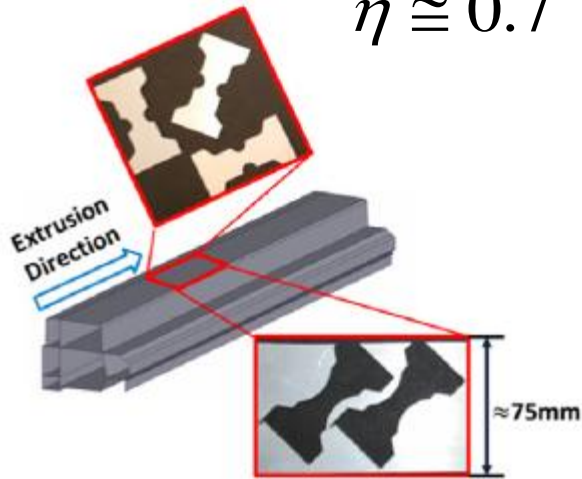
Extrusion en alliage Al-Mg-Si 6260-T6, épaisseur = 2 mm

MEB



$\eta \cong 0.7$

$\eta \cong 0.1$



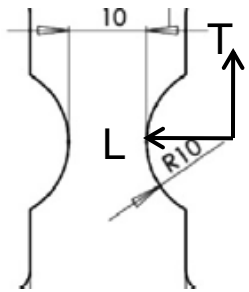
Traction
plate
entaillée

Cisaillement "Butterfly"

e=2 mm

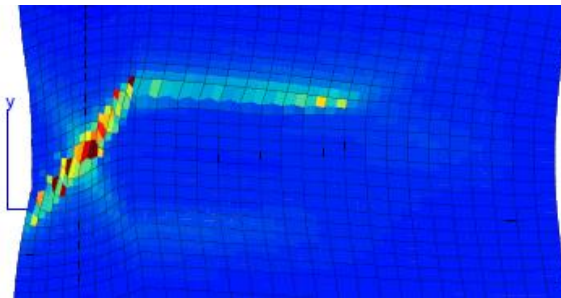
SIMULATIONS NUMERIQUES

Extrusion en alliage Al-Mg-Si 6260-T6, épaisseur = 2 mm

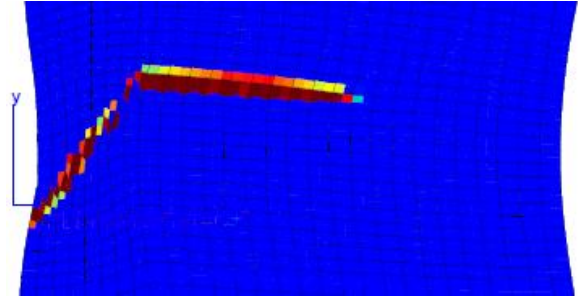


e = 2 mm

M
I
D
S
E
C
T
I
O
N

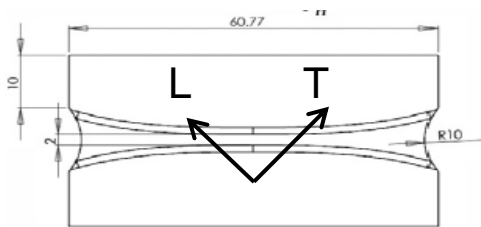


fraction volumique f
échelle 0 – 0.12

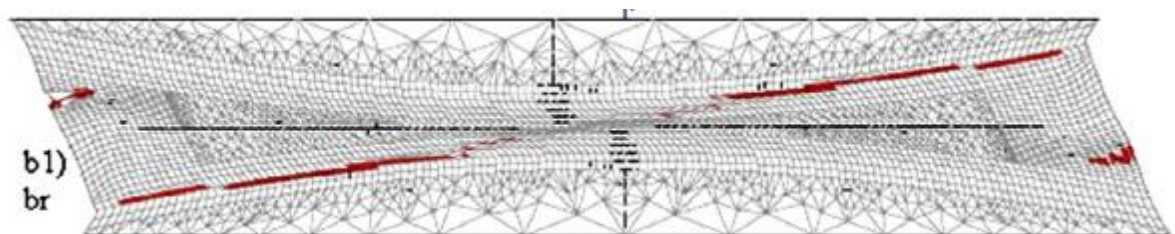


N
O
T
C
H

glissement de Coulomb
(max g,s) échelle 0 – 2



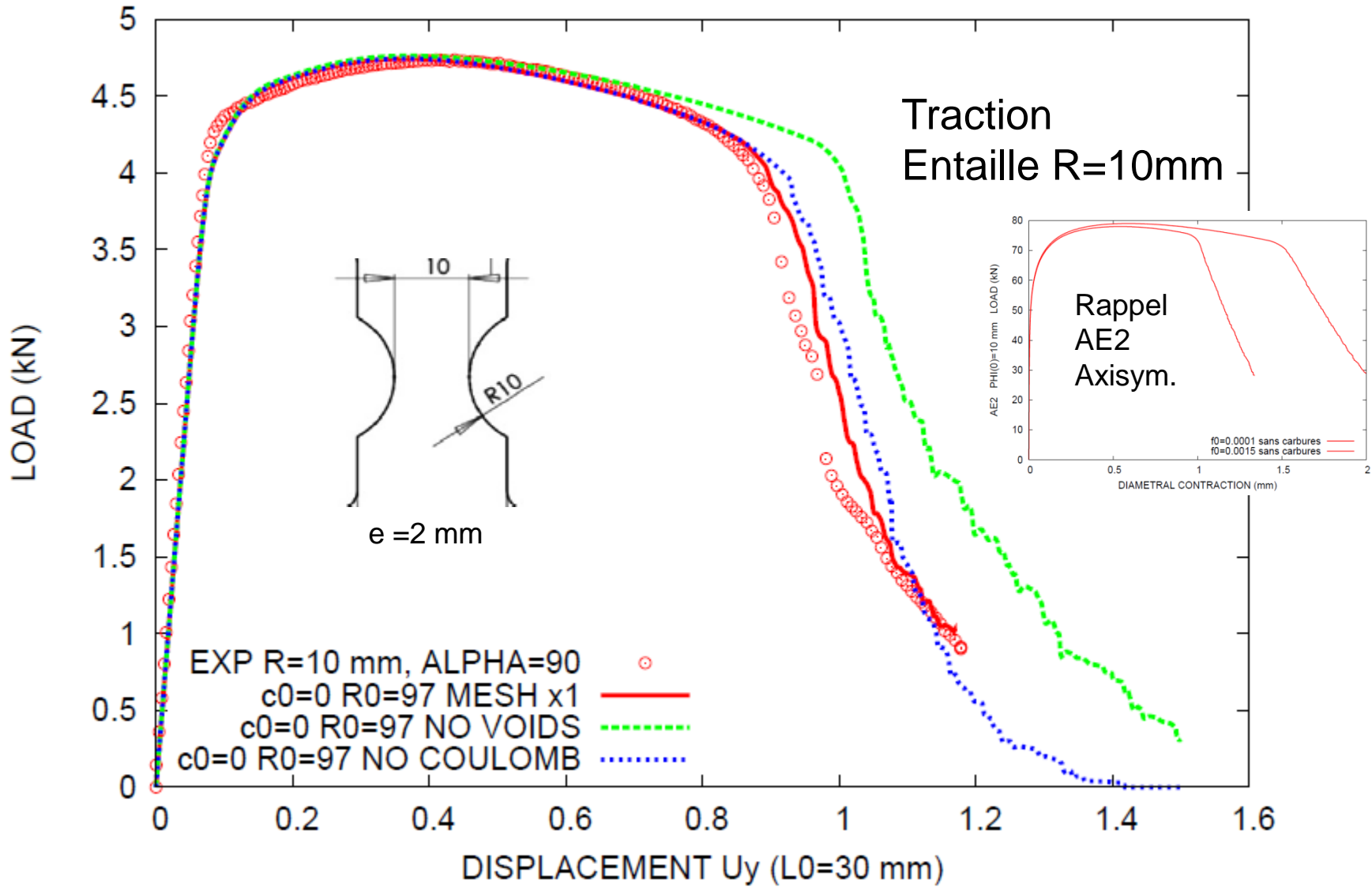
e = 1 mm zone centrale



fissures (points d'intégration de Gauss "rompus")

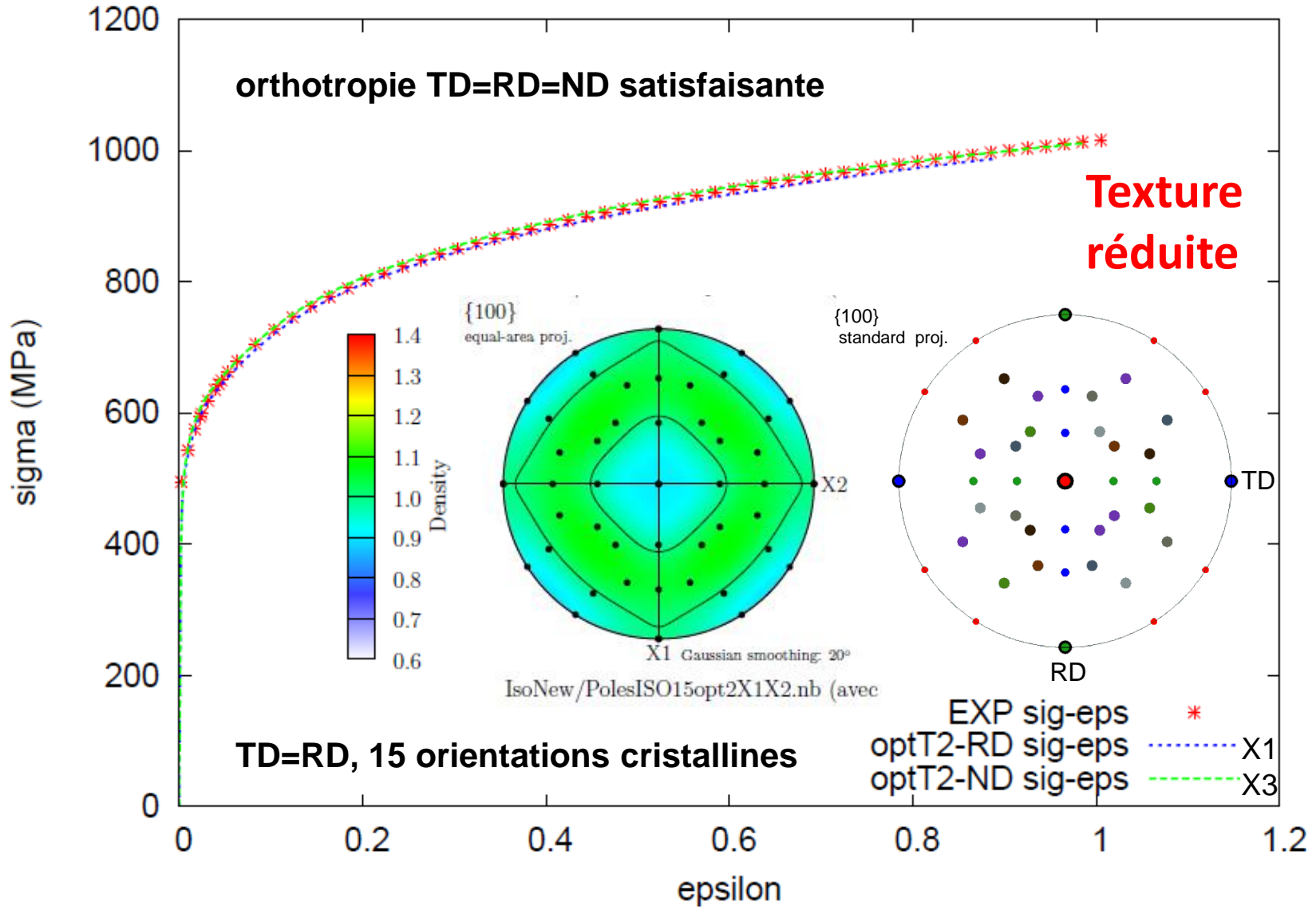
Rousselier & Luo (2014)

Extrusion en alliage Al-Mg-Si 6260-T6, épaisseur = 2 mm

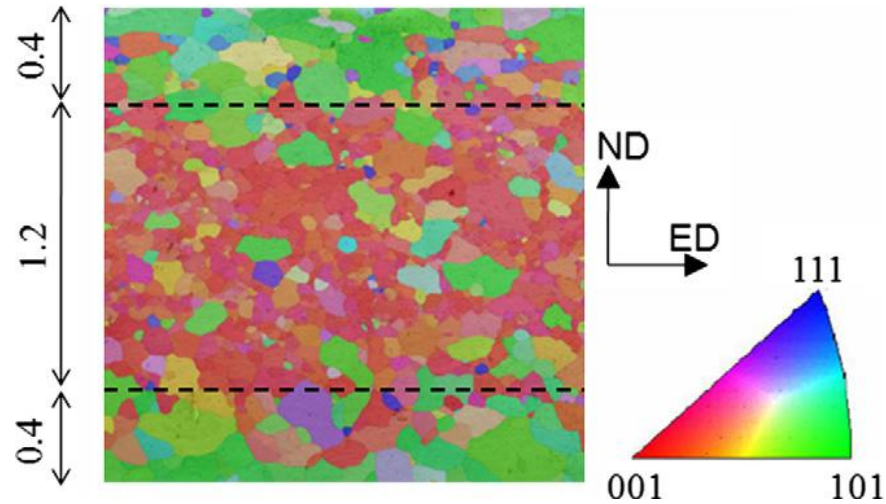


Merci pour votre attention

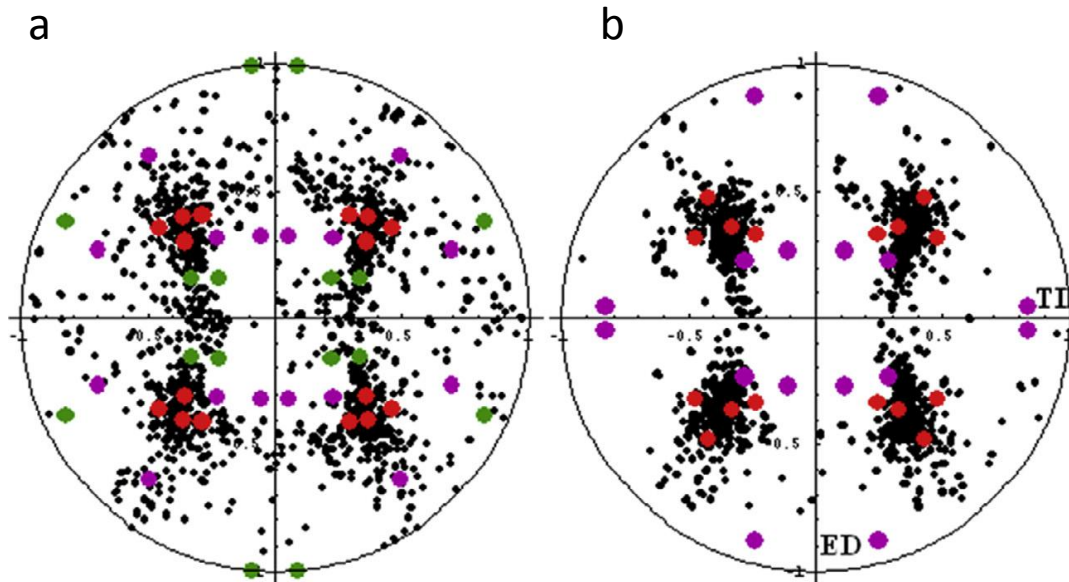
16MND5, calibration des paramètres d'écroutissage sur courbe Lorentz, Cano & Besson (2008), 20 C



Textures réduites orthotropes, $3 \times 4 = 12$ et $2 \times 4 = 8$ orientations cristallines

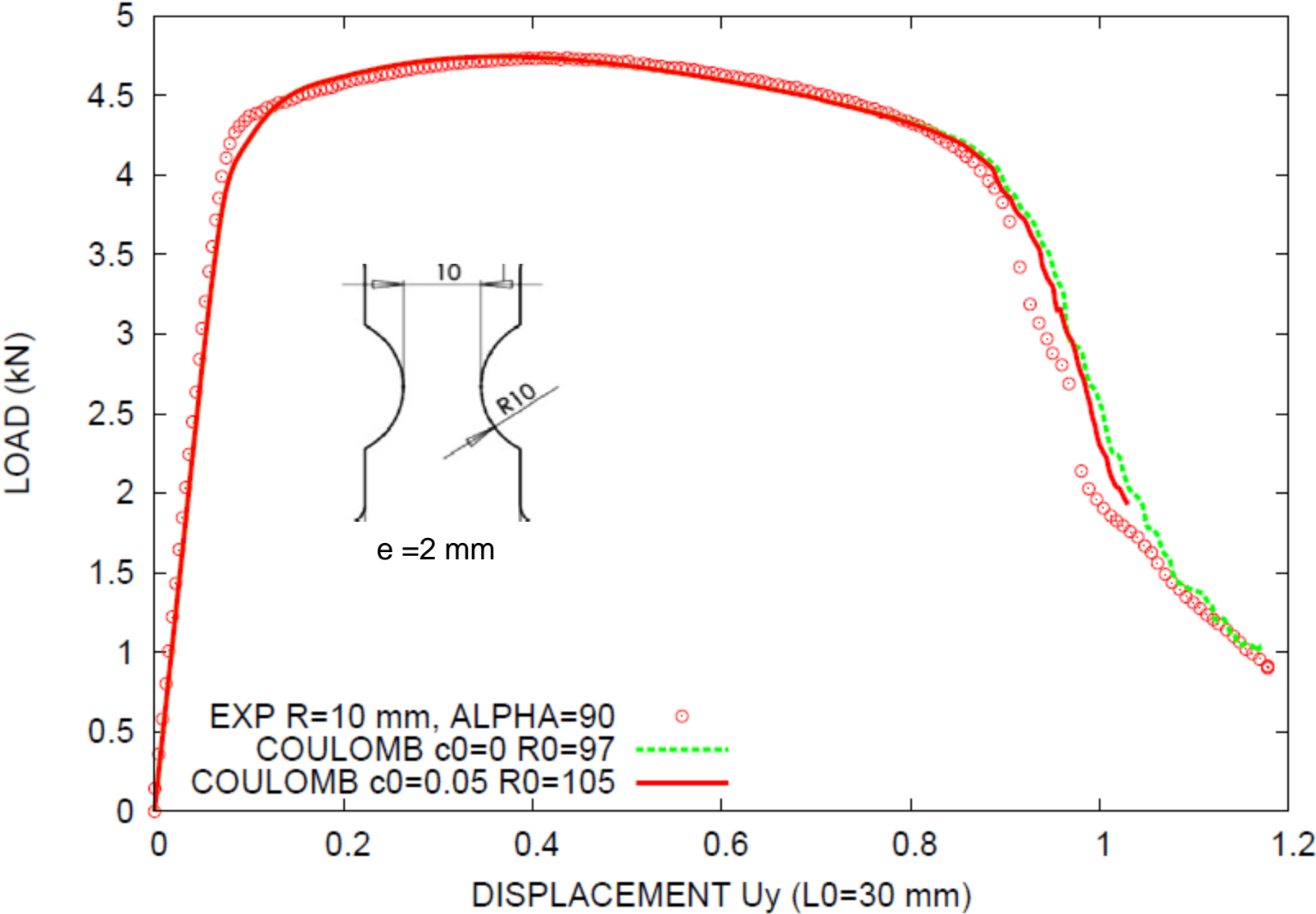


Extrusion AA6260-T6, pôles {111}, EBSD a (2 mm) et b (couche centrale 1.2 mm)



Textures réduites

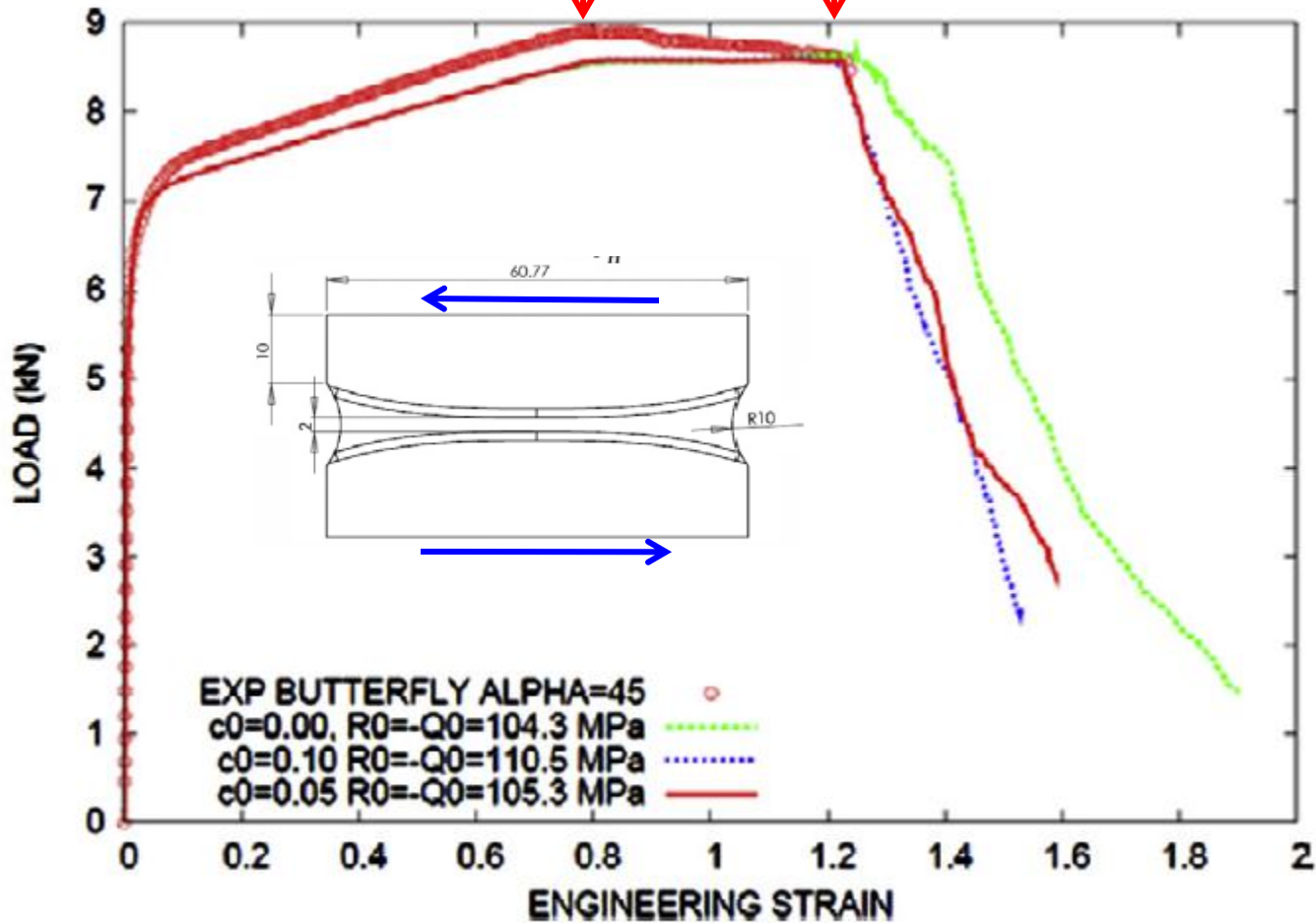
Extrusion en alliage Al-Mg-Si 6260-T6, épaisseur = 2 mm

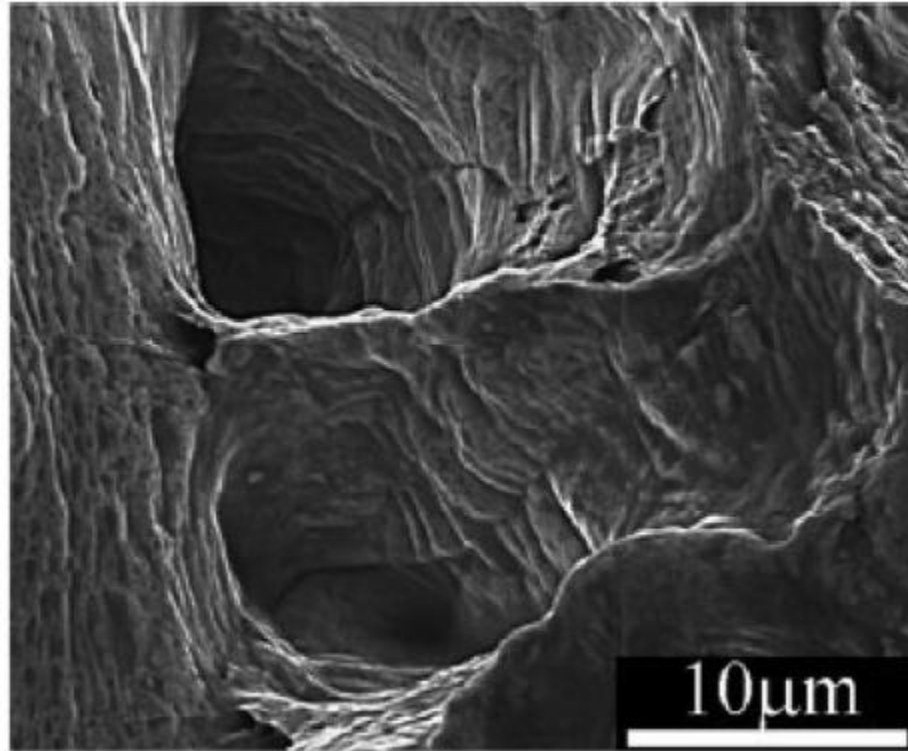


Extrusion en alliage Al-Mg-Si 6260-T6, épaisseur = 2 mm

petites fissures latérales de traction

grandes fissures de cisaillement





Emergence de bandes de glissement
Comportement plastique en présence d'une **surface**

Transgranular ductile fracture without voids:

porous plasticity is ineffective

→ **Coulomb fracture model** 1 at the slip system scale
2 with softening

$$R_0 - c_0 \sigma_n = |\tau|$$

COULOMB, Charles Augustin,
Théorie des Machines Simples
(1773)

$$\frac{aa\delta}{\cos x} + \frac{P \cos x}{n} = P \sin x$$

$\delta = R_0$ and $n = 1/c_0 > 0$

material constants

$aa/\cos x =$ surface area, $aa = a^2 = DM^2$ Fracture for $x = \pi/4 - \text{atan}(1/n)/2$

$P > 0$
(compression)

